

بِسْمِ اللّٰهِ الرَّحْمٰنِ الرَّحِيْمِ

**فيزياء  
الحالة الصلبة  
SOLID STATE PHYSICS**

رقم التصنيف : 53.41

المؤلف ومن هو في حكمه : غازي ياسين القبسي

عنوان الكتاب : فيزياء الحالة الصلبة

رقم الإيداع : 2010/7/2536

الواصفات : فيزياء الجوامد / الفيزياء

بيانات النشر : عمان - دار المسيرة للنشر والتوزيع

تم إعداد بيانات الفهرسة والتصنيف الأولية من قبل دائرة المكتبة الوطنية

#### حقوق الطبع محفوظة للناشر

جميع حقوق الملكية الأدبية والفنية محفوظة لدار المسيرة للنشر والتوزيع عمان - الأردن  
ويحظر طبع أو تصوير أو ترجمة أو إعادة تنضيد الكتاب كاملاً أو جزءاً أو تسجيله على أشرطة  
كاسيت أو إدخاله على الكمبيوتر أو برمجته على إسطوانات ضوئية إلا بموافقة الناشر خطياً

Copyright © All rights reserved

No part of this publication may be translated,  
reproduced, distributed in any form or by any means, or stored in a data  
base or retrieval system, without the prior written permission of the publisher

الطبعة الأولى 2011م - 1432هـ



#### عنوان الدار

الرئيسي : عمان - العبدلي - مقابل البنك العربي هاتف : 962 6 5627049 - فاكس : 962 6 5627059  
الفرع : عمان - ساحة المسجد الحسيني - سوق البتراء هاتف : 962 6 4617640 - فاكس : 962 6 4640950  
صندوق بريد 7218 عمان - 11118 الأردن

E-mail: [Info@massira.jo](mailto:Info@massira.jo) . Website: [www.massira.jo](http://www.massira.jo)

# فيزياء الحالة الصلبة

## SOLID STATE PHYSICS

الدكتور  
**غازي ياسين القيسي**  
دكتوراه المملكة المتحدة - جامعة ريدنگ  
Phd. Reading University U.K



قَالَ تَعَالَى: ﴿ وَمَا تَكُونُ فِي شَاءٍ وَمَا تَنْلُو مِنْهُ إِنْ قُرْبَانٍ وَلَا تَعْمَلُونَ مِنْ عَمَلٍ إِلَّا كُنَّا  
عَلَيْكُمْ شُهُودًا إِذْ تُفِيضُونَ فِيهِ وَمَا يَعْزِزُ عَنْ رَبِّكَ مِنْ مِثْقَالٍ ذَرَّةٍ فِي الْأَرْضِ وَلَا فِي السَّمَاءِ  
وَلَا أَصْغَرَ مِنْ ذَلِكَ وَلَا أَكْبَرَ إِلَّا فِي كِتَابٍ مُّبِينٍ ﴾ ٦١

[يونس: 61]

## الفهرس

|          |       |
|----------|-------|
| 15 ..... | تقديم |
|----------|-------|

### الفصل الاول

#### علم البلورات والبنية البلورية

|          |   |
|----------|---|
| 19 ..... | 1.1 الشبكة الفضائية .....                           |
| 20 ..... | 1.2 التركيب البلوري .....                           |
| 21 ..... | 1.3 وحدة الخلية .....                               |
| 25 ..... | 1.4 نظام الاحداثيات في الهندسة البلورية .....       |
| 26 ..... | 1.5 التمايل في البلورات .....                       |
| 32 ..... | 1.6 عناصر التمايل الانتقالي .....                   |
| 34 ..... | 1.7 شبائك برافز .....                               |
| 42 ..... | 1.8 معاملات ميلر .....                              |
| 47 ..... | 1.9 معاملات الاتجاه في البلورة .....                |
| 49 ..... | 1.10 المسافات البنية بين المستويات في البلورة ..... |
| 54 ..... | 1.11 التبعية المتماسكة .....                        |
| 55 ..... | 1.12 بعض التراكيب البلورية الانموذجية .....         |
| 68 ..... | ćمارين عامة محلولة .....                            |
| 74 ..... | اسئلة وćمارين عامة .....                            |

## الفهرس

### الفصل الثاني

#### حيود الاشعة السينية في البلورات والشبكة المقلوبة

|           |  |
|-----------|--|
| 81 .....  | 2.1 مقدمة  |
| 82 .....  | 2.2 حيود البلورة   |
| 87 .....  | 2.3 قانون براك   |
| 92 .....  | 2.4 معادلات لاوي   |
| 105 ..... | 2.5 الشبكة المقلوبة  |
| 112 ..... | 2.6 البناء الهندسي لايوالد - الصيغ الاتجاهية لمعادلات الحيود |
| 114 ..... | 2.7 مناطق برليون   |
| 123 ..... | 2.8 الطرق العملية للحيود في البلورات                         |
| 130 ..... | تمارين عامة محلولة   |
| 141 ..... | اسئلة وتمارين عامة   |

### الفصل الثالث

#### قوى الترابط وتصنيف المواد الصلبة

|           |                                   |
|-----------|-----------------------------------|
| 147 ..... | 3.1 تببيب خصائص الجوامد           |
| 148 ..... | 3.2 طبيعة قوى الترابط في البلورات |
| 151 ..... | 3.3 طاقة الترابط                  |
| 153 ..... | 3.4 البلورات الايونية             |
| 157 ..... | 3.5 قيمة ثابت مادلنك              |
| 159 ..... | 3.6 البلورات التساهمية            |
| 161 ..... | 3.7 بلورات الغازات الخامدة        |
| 168 ..... | 3.8 البلورات المعدنية             |

## الفهرس

|           |   |
|-----------|---|
| 171 ..... | 3.9 بلورات الرابطة الهيدروجينية           |
| 172 ..... | 3.10 الانضغاطية الادياتية (كافحة الحرارة) |
| 177 ..... | تمارين عامة محلولة                        |
| 185 ..... | اسئلة وتمارين عامة                        |

## الفصل الرابع حركيات الشبكة

|           |   |
|-----------|---|
| 189 ..... | 4.1 الاهتزازات المرنة في وسط مستمر                    |
| 195 ..... | 4.2 الانماط الطبيعية للاهتزاز في وسط مستمر طوله محدد  |
| 196 ..... | 4.3 إغouch البلاورا الزنبركي                          |
| 197 ..... | 4.4 حركة سلسلة ذرات متماثلة                           |
| 205 ..... | 4.5 انماط الاهتزاز في شبكة يبعد واحد ذات طول محدد     |
| 208 ..... | 4.6 حركيات سلسلة نوعين من الذرات                      |
| 212 ..... | 4.7 حالات خاصة في حل مسألة الشبكة ثنائية الذرة        |
| 218 ..... | 4.8 تأثير $M$ و $m$ على طيف التردد                    |
| 220 ..... | 4.9 حركة شبكة يبعدين                                  |
| 223 ..... | 4.10 تهيج اهتزاز شبكة بلورا ايونية بوساطة الضوء       |
| 227 ..... | 4.11 الاهتزازات المتموضعية في شبكة بلورا مشوبة        |
| 230 ..... | 4.12 تكميم اهتزازات الشبكة : الفونونات                |
| 232 ..... | 4.13 كمية حركة الفونون                                |
| 233 ..... | 4.14 قواعد الاختيار لمتجه - موجة وكمية الحركة         |
| 234 ..... | 4.15 التشتيت غير المرن للفوتونات بوساطة فونونات ملطفة |
| 236 ..... | 4.16 طيف الفونونات في الجوامد                         |
| 240 ..... | تمارين عامة محلولة                                    |

## الفهرس

اسئلة وتمارين عامة ..... 249

### الفصل الخامس الخواص الحرارية للجوامد

|  |
|--|
| 5.1 سعة الفونون الحرارية ..... 253                       |
| 5.2 النظرية الكلاسيكية (قانون دولنج و بيتايت) ..... 255  |
| 5.3 إنوج اينشتين ..... 258                               |
| 5.4 إنوج ديابي ..... 264                                 |
| 5.5 التمدد الحراري للجوامد ..... 274                     |
| 5.6 معادلة حالة المواد الصلبة ..... 278                  |
| 5.7 علاقة جرونيزین ..... 281                             |
| 5.8 التوصيلية الحرارية للمواد الصلبة ..... 283           |
| 5.9 نظرية التوصيلية الحرارية الفونونية للعوازل ..... 285 |
| 5.10 تغير التوصيلية الحرارية مع درجة الحرارة ..... 287   |
| تمارين عامة محلولة ..... 289                             |
| اسئلة وتمارين عامة ..... 306                             |

### الفصل السادس

#### الاليكترونيات الحرية في المعادن

|   |
|---|
| 6.1 إنوج درود - لوريتنز الكلاسيكي ..... 311     |
| 6.2 إنوج الموجة الميكانيكية لسومرفيلد ..... 312 |
| 6.3 اليكترون حر في صندوق ..... 314              |
| 6.4 دالة توزيع فيرمي ..... 316                  |
| 6.5 كثافة المستويات الاليكترونية ..... 318      |

## الفهرس

|  |     |
|--|-----|
| 6.6 معاملات الغاز الالكتروني الحر عند الصفر المطلق .....                 | 320 |
| 6.7 اعتماد طاقة فيرمي على درجة الحرارة.....                              | 326 |
| 6.8 الحرارة النوعية الالكترونية للمعادن .....                            | 328 |
| 6.9 إنموج الالكتروني الحر والابعاث الالكترونية .....                     | 332 |
| 6.10 انموج الالكتروني الحر والخواص البارامغناطيسية للمعادن القلوية ..... | 337 |
| 6.11 انموج غاز الالكتروني الحر والتوصيلية الكهربائية.....                | 342 |
| 6.12 التوصيلية الحرارية في نظام الالكتروني الحر .....                    | 350 |
| 6.13 قانون وايد مان – فرانز .....  | 351 |
| 6.14 التأثيرات الكهروحرارية في أنظمة الالكتروني الحر.....                | 353 |
| 6.15 تأثير هول .....   | 355 |
| قارين عامة محلولة .....  | 359 |
| أسئلة وتمارين عامة.....  | 375 |

## **الفصل السابع**

### **نظريّة الحزم في الجوامد**

|   |     |
|---|-----|
| 7.1 جهد الشبكة الدوري .....                               | 379 |
| 7.2 نظرية بلوخ .....                                      | 381 |
| 7.3 انموج كرونج - بيني .....                              | 384 |
| 7.4 تمثيل منحني E بالضد من K في مخططات مناطق مختلفة ..... | 389 |
| 7.5 عدد المستويات في حزمة .....                           | 391 |
| 7.6 حرکية الالكتروني بلوخ .....                           | 392 |
| 7.7 الفجوات .....   | 398 |
| 7.8 نظرية الحركة البسيطة للالكترونيات في مجال دوري .....  | 401 |
| 7.9 تقارب الالكتروني الحر .....                           | 401 |

## **الفهرس**

|   |           |
|---|-----------|
| 7.10 تقارب الالكترون المشدود.....                     | 411 ..... |
| 7.11 منحنيات الطاقة الثابتة والسطوح .....             | 417 ..... |
| 7.12 تداخل المنطقة المسموحة .....                     | 420 ..... |
| 7.13 تصنيف الجوامد الى عوازل وشباه موصلات ومعادن..... | 423 ..... |
| تمارين عامة محلولة .....                              | 428 ..... |
| اسئلة وتمارين عامة.....                               | 435 ..... |

### **الفصل الثامن**

#### **أشباه الموصلات**

|  |           |
|--|-----------|
| 8.1 المقدمة.....   | 439 ..... |
| 8.2 العوازل .....  | 439 ..... |
| 8.3 شباه الموصلات الذاتية أو الندية .....                    | 442 ..... |
| 8.4 شباه الموصلات المشوبة أو غير الندية .....                | 447 ..... |
| 8.5 تركيز الالكترون والفجوة في شباه الموصلات الندية .....    | 452 ..... |
| 8.6 تركيز الالكترون والفجوة في شباه الموصلات غير الندية..... | 456 ..... |
| 8.7 التوصيلية الكهربائية لأشباه الموصلات .....               | 461 ..... |
| 8.8 تأثير هول في شباه الموصلات .....                         | 466 ..... |
| 8.9 الرنين السايكلوتروني .....                               | 467 ..... |
| تمارين عامة محلولة .....                                     | 471 ..... |
| اسئلة وتمارين عامة.....                                      | 478 ..... |

### **الفصل التاسع**

#### **أجهزة شباه الموصلات**

|                                      |           |
|--------------------------------------|-----------|
| 9.1 وصلة شبه الموصل ثنائية p-n ..... | 481 ..... |
| 9.2 مقوم الوصلة ثنائية p-n .....     | 484 ..... |

## **الفهرس**

---

|           |   |
|-----------|---|
| 489 ..... | 9.3 الترانزستور الاتصالي                        |
| 493 ..... | 9.4 الخلية الشمسية                              |
| 494 ..... | 9.5 تصنيع دايدودات وترانزستورات الوصلة الثنائية |
| 498 ..... | تمارين عامة محلولة                              |
| 501 ..... | اسئلة وتمارين عامة                              |

## **الفصل العاشر**

### **العوازل**

|           |  |
|-----------|--|
| 505 ..... | 10.1 العوازل وجزيئاتها                             |
| 507 ..... | 10.2 استقطاب العوازل                               |
| 509 ..... | 10.3 ثنائي القطب الكهربائي                         |
| 512 ..... | 10.4 الازاحة الكهربائية والتجهات الكهربائية الأخرى |
| 515 ..... | 10.5 الاستقطابية                                   |
| 526 ..... | 10.6 المجال العياني                                |
| 527 ..... | 10.7 المجال المرضعي                                |
| 530 ..... | 10.8 علاقة كلاسوز - موسوتي                         |
| 533 ..... | 10.9 معادلة لابلس                                  |
| 544 ..... | 10.10 بعض الخواص الأخرى للعوازل                    |
| 547 ..... | 10.11 تأثير الكهربائية الاجهادية                   |
| 548 ..... | 10.12 الكهربائية الحديدوزية                        |
| 551 ..... | 10.13 كارثة الاستقطاب                              |
| 553 ..... | تمارين عامة محلولة                                 |
| 563 ..... | اسئلة وتمارين عامة                                 |

## الفصل الحادي عشر

### الخواص المغناطيسية- النظرة الكلاسيكية

|   |     |
|---|-----|
| 11.1 ثنائي القطب المغناطيسي وبعض الكميات المغناطيسية .....              | 567 |
| 11.2 نظرية لارمور في الحركة المدارية .....                              | 570 |
| 11.3 انواع المواد المغناطيسية .....                                     | 571 |
| 11.4 نظرية لانجفین للدايامغناطيسية .....                                | 575 |
| 11.5 نظرية لانجفین للبارامغناطيسية .....                                | 577 |
| 11.6 نظرية الفيرومغناطيسية - قانون كيوري - ويس .....                    | 581 |
| 11.7 مناطق الفيرومغناطيسية .....  | 586 |
| 11.8 الهاسترة أو التخلف المغناطيسي .....                                | 587 |
| 11.9 نظرية ويس للهاسترة .....   | 591 |
| 11.10 الطريقة القذفية للحصول على منحنى $B-H$ .....                      | 592 |
| 11.11 ايجاد منحنى $B-H$ بكشاف الاشعة الكاثودية .....                    | 597 |
| 11.12 ايجاد التأثيرية (القابلية المغناطيسية) بوساطة طريقة كوبينكي ..... | 600 |
| قارين عامة محلولة .....   | 604 |
| اسئلة وقارين عامة .....   | 613 |

## الفصل الثاني عشر

### الخواص المغناطيسية- النظرة الكمية

|   |     |
|---|-----|
| 12.1 تناقضات في النظرة الكلاسيكية ..... | 617 |
| 12.2 نظرية الدايامغناطيسية .....        | 618 |
| 12.3 العزم المغناطيسي الكلي لذرة .....  | 622 |
| 12.4 النسبة الجيرومغناطيسية .....       | 629 |

## الفهرس

|   |     |
|---|-----|
| 12.5 نظرية البارامغناطيسية.....   | 630 |
| 12.6 بارامغناطيسية البلورات الايونية .....  | 638 |
| 12.7 نظرية الفيرومغناطيسية (المغناطيسية الحديدوزية).....                              | 641 |
| 10.8 التفاعل التبادلي بين الايونات البارامغناطيسية .....                              | 647 |
| 10.9 طاقة عدم تجانس الاتجاه البلوري.....  | 651 |
| 12.10 جدار بلوخ .....   | 653 |
| 12.11 أصل الحالة الفيرومغناطيسية.....   | 655 |
| 12.12 أصل النطاقات .....  | 658 |
| 12.13 ضديد الفيرومغناطيسية.....   | 659 |
| 12.14 إنموج الشبيكتين الثانويتين أو نظرية المجال الجزيئية لضديد الفيرومغناطيسية ..... | 660 |
| 12.15 الفيرومغناطيسية - الفيريت (معدن حديدي) والعقيق.....                             | 667 |
| 12.16 نظرية المجال الجزيئية للفيرومغناطيسية.....                                      | 670 |
| 12.17 الامواج المغزلية.....   | 673 |
| 12.18 تكميم الامواج المغزلية - الامواج الدوارة .....                                  | 677 |
| 12.19 التهيج الحراري للامواج الدوارة - قانون $T^{3/2}$ لبلوخ .....                    | 679 |
| تمارين عامة م حلولة .....   | 682 |
| أسئلة وتمارين عامة.....   | 692 |
| المراجع.....  | 696 |

تقدیم

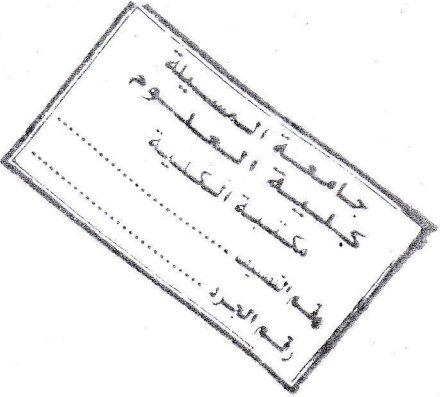
يوفّر كتاب فيزياء الحالة الصلبة الجامعي هذا استعراضاً شاملًا للمفاهيم النظرية والعملية لعلم المواد. سيجد الطالبفائدة كبيرة في مجموعة التمارين المحلولة في نهاية كل فصل من فصول الكتاب.

تناولت الفصول الأول والثاني والثالث الهندسة البلورية ودراسة البنية التركيبية لها مع قوى الترابط فيها. أما الفصلين الرابع والخامس فتم فيما استعراض حركة الشبكة والخواص الحرارية للمواد الصلبة. وفي الفصلين السادس والسابع تم دراسة نظريات الإلكترون الحر في المعادن مع دراسة الجهد الدورى للشبكة. أما الفصلين الثامن والتاسع فتناولنا فيها بالتفصيل أشباه الموصلات والأجهزة الإلكترونية المصنعة منها. ولغرض إعطاء العوازل الاهتمام المطلوب فلقد خصص لها الفصل العاشر معالجاً خواصها الفيزياوية. وأخيراً تناول الفصلين الحادي عشر والثاني عشر الخواص المغناطيسية للمواد الصلبة من وجهي النظر الكلاسيكية والكمية.

أمل أن يلبي هذا الكتاب حاجة طلبة البكالوريوس وكذلك طلبة الدراسات العليا للمفاهيم الأساسية لفيزياء الحالة الصلبة التي اعتمدنا في جمعها وإعدادها على عدد من الإصدارات العالمية في مجال هذا التخصص، ويبقى كل جهد لا يخلو من ملاحظة هنا أو هناك ومن المكارم أن تصلنا هذه الملاحظات.

والله ولي التوفيق

## المؤلف



## الفصل الأول

### علم البلورات والبنية البلورية

### Crystallography and Crystal structure

- 1.1 الشبكة الفضائية
  - 1.2 التركيب البلوري
  - 1.3 وحدة الخلية
  - 1.4 نظام الاحداثيات في الهندسة البلورية
  - 1.5 التماطل في البلورات
  - 1.6 عناصر التماطل الانتقالية
  - 1.7 شبائك برافز
  - 1.8 معاملات ميلر
  - 1.9 معاملات الاتجاه في البلورة
  - 1.10 المسافات البنية بين المستويات في البلورة
  - 1.11 التعبئة المتماسكة
  - 1.12 بعض التراكيب البلورية الانموذجية
- تمارين عامة محلولة  
اسئلة وتمارين عامة

## الفصل الأول

### علم البلورات والبنية البلورية

#### 1.1 الشبكة الفضائية Space Lattice

تحتلت الحالة البلورية للمواد عن الحالات الأخرى (الغازية والسائلة وغير المبلورة) بان ذراتها تكون ذات ترتيب منظم ومتماطل يسمى شبكة البلورة. وتتميز الشبكة بتكرارية فضائية أو بتماطل انتقالى.

تشكل البلورة المثالية من خلال التكرار اللانهائي المنتظم في فضاء من وحدات تركيبية متتماثلة. وبسبب النظامية في التشكيل الدوري يكون محيط جميع النقاط متتماثلا في شبكة معينة. فلو ان مشاهدا وضع عند أي نقطة  $A$  انتقل الى أي نقطة أخرى  $B$  سوف لا يتمكن من تحسين أي تغير في المحيط. بعبارة أخرى يدو تشكيل جميع نقاط الشبكة نفسه باي طريقة ينظر إليها من أي نقطة  $\bar{r}$  مثلما ينظر لها من النقطة:

$$\bar{r}' = \bar{r} + n_1\bar{a} + n_2\bar{b} + n_3\bar{c} \dots \quad 1-1$$

إذ ان  $n_1$  و  $n_2$  و  $n_3$  أعداد صحيحة اعتباطية وان  $\bar{a}$  و  $\bar{b}$  و  $\bar{c}$  هي متجهات الانتقال الأساسية.

ويسمى المتجه الذي يربط هذه المتجهات الثلاث بالمؤثر الانتقالى:

$$\bar{T} = n_1\bar{a} + n_2\bar{b} + n_3\bar{c} \dots \quad 1-2$$

وهذا المؤثر الانتقالى يربط أي موقعين في البلورة بحيث تبدو جميع الذرات المحاطة بهذين الموقعين متتماثلة، أي أن:

$$\bar{r}' = \bar{r} + \bar{T}$$

ان مجموعة النقاط  $\bar{r}'$  هي التي تحدد الموضع المتتماثلة داخل البلورة بالنسبة لنقطة الشبكة  $\bar{r}$ . وهذا يعتبر المؤثر الانتقالى أحد مؤثرات التماطل البلوري التي ستطرق اليها لاحقاً مع بقية مؤثرات التماطل البلوري.

## الفصل الاول

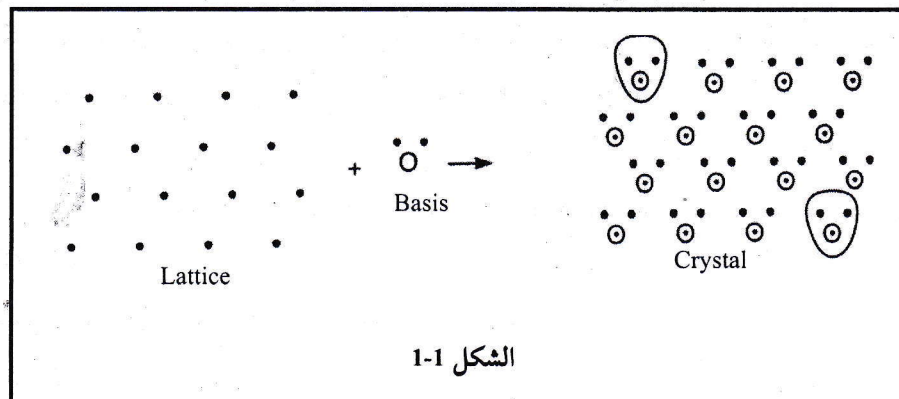
وتعرف الشبيكة ومحاورها الانتقالية بانها شبيكة اولية اذا خضعت اي نقطتين فيها للعلاقة 1-1 وتشكل المحاور الاولية هذه الشبيكة اشكالاً متوازيات سطوح تسمى وحدة الخلية الاولية، اما اذا لم تخضعا نقاط شبيكة ما للعلاقة 1-1 فتدعى بالشبيكة غير الاولية وتكون المحاور التي تحددها محاور غير اولية وتشكل وحدة خلية غير اولية.

### 1.2 التركيب البلوري Crystal Structure

تحتفل الشبيكة والبلورة بدلاله ان الشبيكة ما هي الا فكرة رياضية مجردة يقصد بها مجموعة من النقاط المرتبة بنظام وتعيد نفسها بصورة دورية في الفضاء، بينما البلورة هي جسم فيزياوي حقيقي. ويمكن تحويل الشبيكة الفضائية الى بلورة عندما تصاحب كل نقطة شبيكة بتركيب فيزياوي معين مثل ذرة او جزيئه ويسمى هذا التركيب الفيزياوي بالاساس والعلاقة المنطقية هي:

Lattice + basis → Crystal structure

وهذه العلاقة المنطقية يوضحها الشكل 1-1:

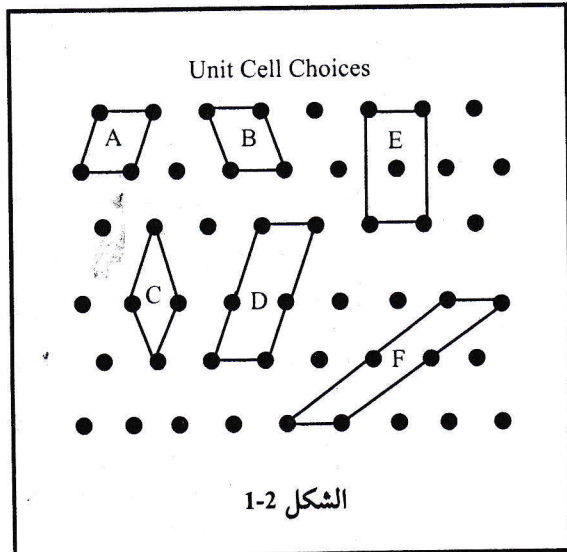


ربما يتكون الاساس من ذرة منفردة مثلما في المعادن والغازات الخامدة ومن ايونين مثلما في البلورات الايونية وصولاً الى حوالي 100 ذرة او جزيئه كما في البلورات غير العضوية او بمحدود 1000 ذرة او جزيئه كما في بلورات البروتين.

### 1.3 وحدة الخلية Unit Cell

وحدة الخلية هي منطقة الشبيكة التي تعرف بوساطة ثلاث متجهات  $\bar{a}$  و  $\bar{b}$  و  $\bar{c}$  التي عندما تنتقل بوساطة أي مضاعفات عددية صحيحة من هذه المتجهات فإنها ستنتج منطقة مشابهة من البلورة. تحتوي كل وحدة خلية تمثلاً تماماً من وحدة النمط (التكرارية الدورية المتتظمة التي تبني البلورة منها، مثل لبنت بناء الجدار). ويكون كافياً ان علمت خواص وحدة الخلية ان تعرف البلورة.

يمكن اختيار وحدة الخلية بطرق لا نهائية في عددها، فان اختيار وحدة الخلية التقليدية هي مسألة ملائمة. يمكن تحديد شكل وأبعاد وحدة الخلية بوساطة تجارب حيود الأشعة السينية. تكون وحدة الخلية ثلاثة الأبعاد اذا كانت البلورة جسماً ثلاثي الأبعاد، وفي العموم تكون متوازي سطوح. ويتم اختيار متوازي السطوح بأقصر الأبعاد واصغر حجم  $\bar{a} \cdot \bar{b} \times \bar{c}$  ليكون وحدة الخلية.



وربما تكون وحدة الخلية أولية كما في الخلايا A و B و C أو غير أولية كما في D و E و F. ان وحدة الخلية التي تمتلك ذرات أو نقاط شبيكة عند زواياها الثمانية فقط وكل زاوية تشتراك مع ثمان خلايا (وبذلك يكون فقط  $1/8$  الذرة او النقطة يخص كل خلية) وبالتوسيط تحتوي كل وحدة خلية ذرة او نقطة شبيكة واحدة فقط تدعى بوحدة الخلية الأولية Primitive unit cell.

ويكون احياناً من المناسب اكبر ان تستعمل خلية ذات حجم اكبر، وبذلك تحتوي اكبر من نقطة شبيكة او ذرة ومثل هكذا وحدة خلية تدعى بوحدة الخلية غير الاولية non-primitive unit cell. ويوضح الشكل 1.2 فكرة وحدة الخلية لبلورة بعدين بينما يوضح الشكل 1.3 وحدة خلية حقيقة لبلورة مكعب.

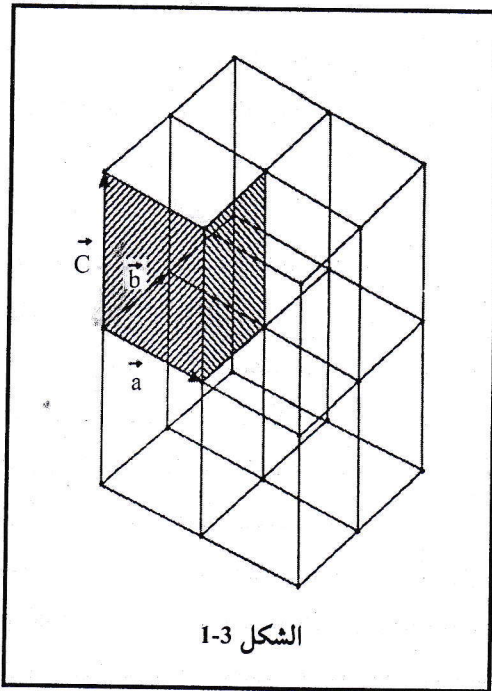
## الفصل الأول

ربما يكون هنالك 100 تركيب لوحدة الخلية تم تعريفها، ولكن هنالك اكثر من مليون صلب متبلور، ومن هنا ندرك ان هنالك العديد من المواد المتبلورة لها تركيب وحدة الخلية نفسه ومثل هذه المواد الصلبة تدعى بالمواد متشابهة التبلور isomorphic. وتعد العديد من العناصر المعدنية متشابهة في تركيبها البلوري لأنها تمتلك تركيب وحدة الخلية نفسه.

تحتوي وحدة الخلية على الاقل على ذرة واحدة من كل نوع من الانواع المكونة للبلورة. ولما كانت الذرات المختلفة لا تميز فقط من خلال خواصها الكيميائية ولكن كذلك من ترتيبها في الخلية، وحتى في البلورة المكونة من عنصر نقي يمكن ان يكون هنالك اكثر من نوع من الذرات. لو ان وحدة الخلية تكونت فقط من نوع واحد من الذرات فهي تدعى بحادية الذرة monoatomic unit cell وعدها تدعى بمتعدد الذرات polyatomic unit cell. وتسمى الشبيكة احادية الذرة كذلك بالشبيكة البسيطة والاخري تسمى بالمركبة. يحتوي ملح الطعام على نوعين من الذرات وهو مثال لشبيكة البلورة متعددة الذرات.

ان الفرق بين الشبائق البسيطة والمركبة يقود الى خواص فيزياوية مختلفة. على سبيل المثال تمتلك اهتزازات الشبيكة ثنائية الذرة هيئات مختلفة تميزها عن اهتزازات الشبيكة احادية الذرة مثما سنلاحظ ذلك في الفصل الرابع.

علينا ان نركز ان وحدة خلية البلورة تظم من خلال تعريفها جميع عناصر التمايل الانتقالي للبلورة. ومن خلال رسم وحدة الخلية يمكننا بناء كامل البلورة. ولكن ربما لا يكون ضروريا ان تكون وحدة الخلية متماثلة بالنسبة للدورانات والانعكاسات مثلما يمكن ذلك للبلورة. فسوف نرى امكانية امتلاك الشبيكة محور تماثل سداسي الثنوية بينما وحدة الخلية لا تمتلك ذلك.



الشكل 1-3

ان وحدة الخلية الاولية لشبكة معينة تكون ذات مساحة ثابتة بغض النظر عن طرق اختيار معاورها، فالخلايا  $A$  و  $B$  و  $C$  في الشكل 1-2 متساوية بالمساحة وان اختلفت اشكالها.

يعرف حجم وحدة الخلية الاولية بدلالة معاورها الانتقالية الاولية كما يأتي:

$$V = |\vec{a} \cdot \vec{b} \times \vec{c}|$$

وكذلك يحسب حجم وحدة الخلية غير الاولية بذات العلاقة اعلاه.

وعند التعامل مع الشبائق المستوية فالمساحة لها تعطى بالعلاقة:

$$A = |\vec{a} \times \vec{b}|$$

### مثال 1-1

اذا كانت مساحة وحدة الخلية الاولية  $B$  في الشكل 1-2 هي  $A_1 = |\vec{a} \times \vec{b}|$  ومساحة خلية اولية اخرى فيه هي  $A_2 = |\vec{a} \times \vec{b}'|$  وكانت  $\vec{b}' = 3\vec{a} + \vec{b}$  للشبكة الاخرى. أثبت ان مساحة وحدة الخلية الاولية  $B$  تكون متساوية لمساحة وحدة الخلية الاولية الاخرى التي تختلف عنها في الشكل؟

الحل:

نعرض عن  $\vec{b}'$  في مساحة الخلية الاولية  $A_2$  لتحقق من انها ستساوي مساحة الخلية

$$A_1 = |\vec{a} \times \vec{b}|$$

$$A_2 = |\vec{a} \times (3\vec{a} + \vec{b})|$$

ولما كان  $0 \neq \vec{a} \times \vec{b} = \vec{a} \times \vec{a} = 0$  فان:

$$A_2 = |\vec{a} \times \vec{b}| = A_1$$

وهو المطلوب.

### مثال 1-2

أثبت ان مساحة وحدة الخلية غير الاولية  $F$  هي مضاعفات عددية صحيحة من مساحة الخلية الاولية  $B$  في الشكل 1-2؟

## الفصل الأول

الحل:

اذا كانت مساحة وحدة الخلية الاولية  $A_1 = |\vec{a} \times \vec{b}|$  وكانت مساحة الخلية غير الاولية  $A_2 = |\vec{a} \times \vec{b}'|$  وكانت  $\vec{b}' = 2\vec{b}$

نعرض عن  $\vec{b}'$  في مساحة الخلية غير الاولية  $A_2$  لتحقق من انها تساوي ضعف مساحة الخلية  $A_1$ .

$$A_2 = |\vec{a} \times (2\vec{b})| = 2|\vec{a} \times \vec{b}| = 2A_1$$

وهو المطلوب.

### خلية وينر-سيز Wigner-Seits

وهي بناء هندسي يساعد في دراسة المواد البلورية. وتعرف بانها الخلية الاقرب الى نقطة شبيكة عن اي نقطة شبيكة اخرى وهي خلية اولية (الشكل 1-4) وتسمى في الشبيكة المقلوبة بمنطقة برليون الاولى.

ويتم تعين هذه الخلية من خلال:

اولاً: اختيار نقطة شبيكة معينة كنقطة اصل.

ثانياً: رسم خطوط تربط نقطة الشبيكة هذه الى جميع نقاط الشبيكة المجاورة لها.

ثالثاً: نرسم عند المتصرف وعموديا على هذه الخطوط خطوط جديدة (او مستويات في الابعاد الثلاثة).

رابعاً: ان اصغر حجم محصور في هذه الطريقة يمثل خلية وينر-سيز الاولية.

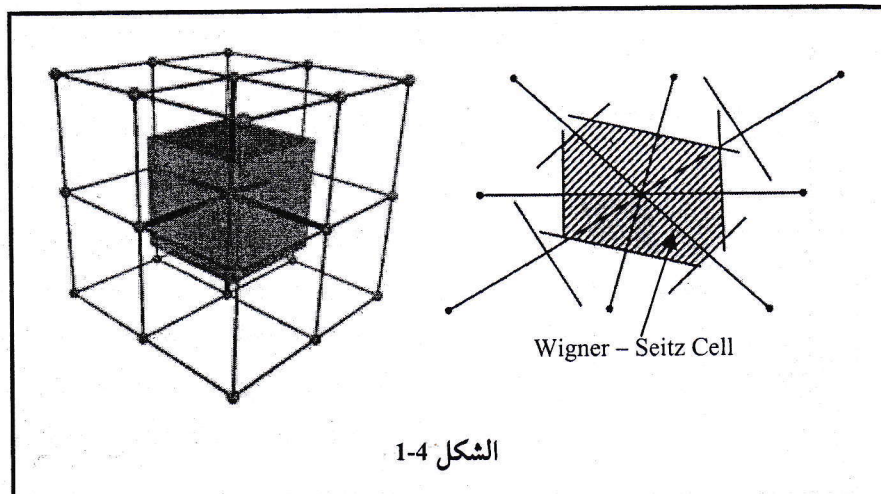
تتسم خلية وينر - سيز بالسمات التالية:

• تكون جميع خلايا وينر - سيز المصاحبة لنقطة الشبيكة متماثلة بالحجم والشكل والتوجيه.

• عندما تجاور فهي تماماً كاملاً الفراغ.

• تكون خلية وينر - سيز متعدد الوجه polyhedron.

• تمتلك تماثل نقطة كامل لنقطة شبيكتها.

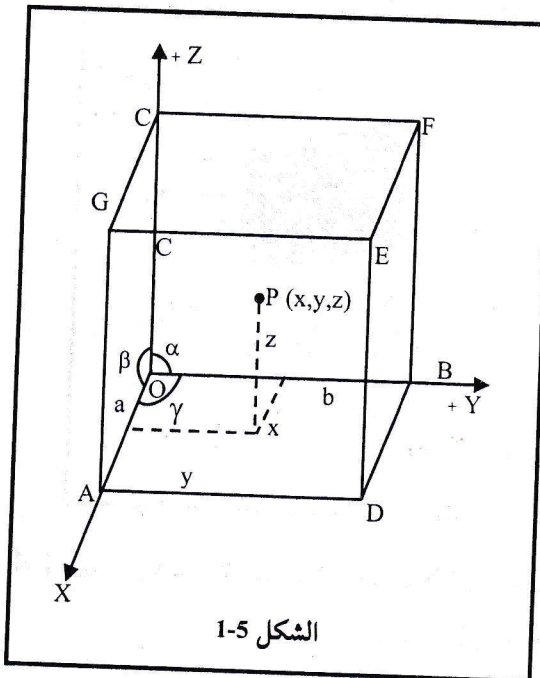


الشكل 1-4

#### 1.4 نظام الاحداثيات في الهندسة البلورية

##### Co-ordinate system in crystallography

ل مجرد اختيار وحدة الخلية فان أضلاعها (أي متجهاتها  $\bar{a}$  و  $\bar{b}$  و  $\bar{c}$ ) توفر لنا إطار العمل المرجعي، والذي هو محاور الاحداثيات المتعامدة، وان الأطوال  $a$  و  $b$  و  $c$  تمثل أطوال المحاور. دعونا نأخذ مثال وحدة خلية متوازي سطوح مستطيلة يوضحها الشكل 1-5. ان أي نقطة شبيكة يمكن ان تكون نقطة أصل النظام المرجعي. وفي الشكل المعروض فاي ركن من اركان وحدة الخلية يمكن ان يأخذ كنقطة أصل. وهنا أخذنا نظام احداثيات من اليمين فإذا تم تدوير اتجاه الاحداثي  $X$  الموجب نحو اتجاه الاحداثي  $Y$  الموجب خلال زاوية  $180^\circ$  فان مسمار لولي أيمين سيتحرك الى الأمام باتجاه الاحداثي  $Z$  الموجب. وتمثل الأطوال  $OA$  و  $OB$  و  $OC$  والأطوال المحوسبة  $a$  و  $b$  و  $c$  حسب الترتيب. وعرفت الزوايا بين المحاور المختلفة  $\alpha$  و  $\beta$  و  $\gamma$  بحيث تكون الزاوية  $\alpha$  معاكسة للمحور  $X$ . وان المستويات  $OACB$  و  $OBFC$  و  $OCGA$  تكون متعامدة مع  $\bar{a}$  و  $\bar{b}$  و  $\bar{c}$  على التعلق. وتسمى اوجه  $A$  و  $B$  و  $C$ .



والآن يمكن تعريف أي نقطة في البلورة بالعودة الى هذه المحاور المتعامدة. بالنسبة لنقطة مثل نقطة  $P(x, y, z)$  لا يتم التعبير عن المسافات  $x$  و  $y$  و  $z$  بدلالة المسافات المترية الاعتيادية ولكن يتم التعبير عنها ككسور من  $a$  و  $b$  و  $c$  على التوالي. لتأخذ مثال على ذلك: لتكن  $\alpha = 6.4^\circ$  و  $\beta = 4.8^\circ$  و  $\gamma = 1.6^\circ$ , فاذا كانت  $a = 8.2 A^\circ$ ,  $b = 4.1 A^\circ$ ,  $c = 2.4 A^\circ$ , فيتم التعبير عن احداثيات النقطة  $P$  على انها  $\frac{a}{2}, \frac{b}{2}, \frac{c}{4}$ . ولتبسيط يتم إسقاط  $a$  و  $b$  و  $c$  ويكون التعبير عن احداثيات النقطة  $P$  كما يأتي  $\frac{1}{2}, \frac{1}{2}, \frac{1}{4}$ .

ومن خاصية الشبكة نستنتج، اذا كان هناك نقطة معينة مثل  $P$  في وحدة خلية فان هناك نقاط متماثلة مشابهة موجودة في كل وحدة خلية. وبدلالة نظام الاحداثيات بالنسبة لنقطة  $x, y, z$  هنالك نقاط مشابهة عند  $x \pm n, y \pm n, z \pm n$ ، اذ ان  $n$  هو أي عدد صحيح. لذلك في حالة نقطة مثل نقطة  $P$  تقع النقاط المتماثلة عند  $\frac{1}{2}, \frac{1}{2}, \frac{5}{4}$ ,  $\frac{3}{2}, \frac{1}{2}, \frac{1}{4}$ ,  $\frac{1}{2}, \frac{3}{2}, \frac{1}{4}$ , الخ. وجدير بالإشارة الى ان هذه النتائج تكون صحيحة ليس فقط للأنظمة المستطيلة ولكن لأي أي قيمة للزوايا  $\alpha$  و  $\beta$  و  $\gamma$  او أي نسبة  $c:b:a$ .

### 1.5 التماشى في البلورات Symmetry in Crystals

يلعب التماشى دورا مهما في دراسة التركيب البلوري. وفي حياتنا الاعتيادية يمثل التماشى المرأوي اول انطباع لنا عن التماشى. فاجسامنا تمتلك الى حد ما تماشى مرأوي فيه يتمثل النصف اليسرى للجسم مع النصف اليمين فيما لو مرت مرأة عبر المحور المركزي لجسمنا. وكذلك نلاحظ امثالك بناء بعض البيوت هذا التماشى المرأوي بحيث لومرت مرأة

في وسط الجدار الفاصل بين البيتين لوجدنا ان البيت على هذا الجانب من المرأة يماشل ذلك الذي على الجانب الآخر من المرأة.

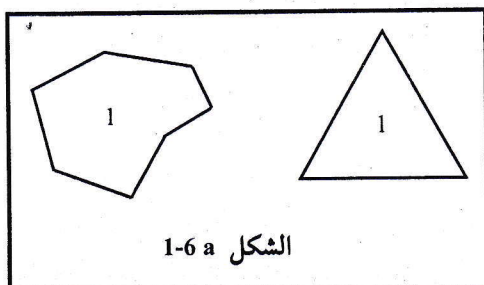
ان نظامية ترتيب الذرات في بلورة تجعل شكلها يظهر انواعاً من التماضيل وان عناصر هذه التماضيل او التماضيل يتم وصفها بواسطة مؤثرات معينة. وبذلك فان مؤثر التماضير هو تحول ينجز على جسم يتراكمه دواماً تغيير. وان عناصر التماضيل المختارة عموماً لتعيين الانواع المختلفة من الانظمة البلورية هي ما يلي:

### 1. محور الدوران Rotation axis

تمتلك الاجسام الصلبة المنتظمة بعض المحاور التي عندما تعطى تدويراً معيناً حوله يبقى الجسم في موضع مطابق، ويسمى محور الدوران هذا بمحور تماثل. على سبيل المثال، اذا قمت بتدوير مكعب خلال زاوية  $90^\circ$  عن موضعه الاولي حول خط شاقولي (موازي لخلفات التقاطع) يمر خلال مركز الوجه الافقى فسوف لن نتمكن من تمييزه عن موضعه الاولي. ان كل دوران بزاوية  $2\pi/n$  يجعل الشكل في تطابق ذاتي او في موضع مطابق. ولا كانت هنالك اربع مواضع مطابقة في دورة واحدة تامة فان هذا يسمى محور تماثل رباعي الثنية (الطيبة). ويمكن لنا ان نعمم هذه النتيجة، فاذا جلب دوران بزاوية  $2\pi/n$  حول محور معين شكلاً في موضع مطابق لوضعه الاولي فان هذا المحور يسمى محور تماثل  $n$ -ثنية. وسنستعرض انواع محاور التماضيل الدوراني الممكنة في البلورات:

أ. محور التماضيل الدوراني ذي الثنية الواحدة: ان الجسم الذي يستلزم دوران بزاوية  $360^\circ$  ( $n=1$ ) لكي يعود نفسه لوضعه الاولي لا يمتلك تماثل دوري ولكن لانه يعيد نفسه مرة واحدة كل  $360^\circ$  يقال انه

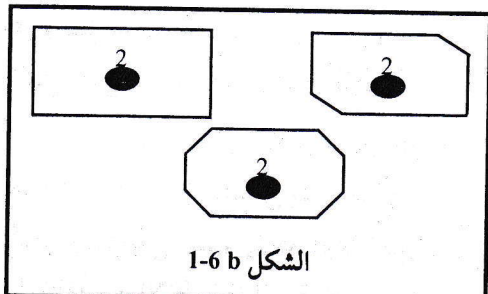
يملك محور تماثل دوري ذي ثانية واحدة وهذا المحور محور عام وان كل بلورة تمتلك عدداً لا نهائياً من هذا المحور الشكل a .



الشكل 1-6 a

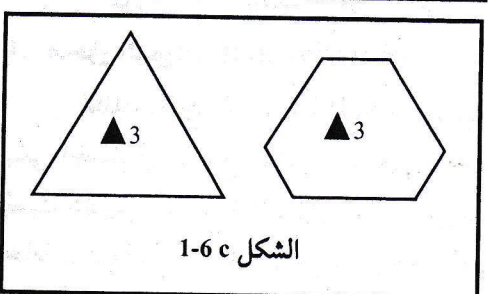
الفصل الأول

ب. محور التمايل الدوراني ثنائي الثنية: اذا ظهر جسم متماثلاً بعد تدويره بزاوية  $n = 2 (180^\circ)$  فيقال انه يمتلك محور دوران ثنائي الثنية  $(2 = 360 / 180)$ . الشكل b .1-6



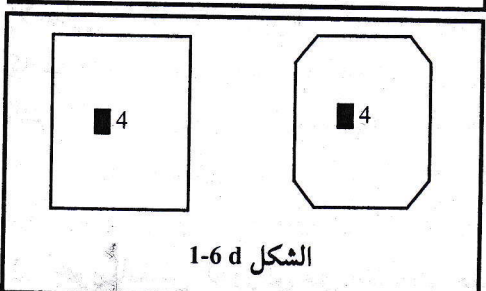
الشكل b .1-6

ج. محور تمايل دوراني ثلاثي الثنية: الاجسام التي تعيد نفسها بعد دوران بزاوية  $120^\circ$ , يقال انها تمتلك محور تمايل دوراني ثلاثي الثنية  $(3 = 360 / 120)$  وانها تعيد نفسها ثلاثة مرات خلال  $360^\circ$ . الشكل c .1-6



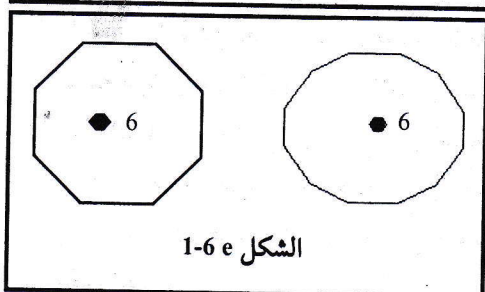
الشكل c .1-6

د. محور تمايل دوراني رباعي الثنية: اذا أعاد اي جسم نفسه خلال زاوية  $90^\circ$  من الدوران فانه سيعيد نفسه اربع مرات خلال  $360^\circ$ . الشكل d .1-6



الشكل d .1-6

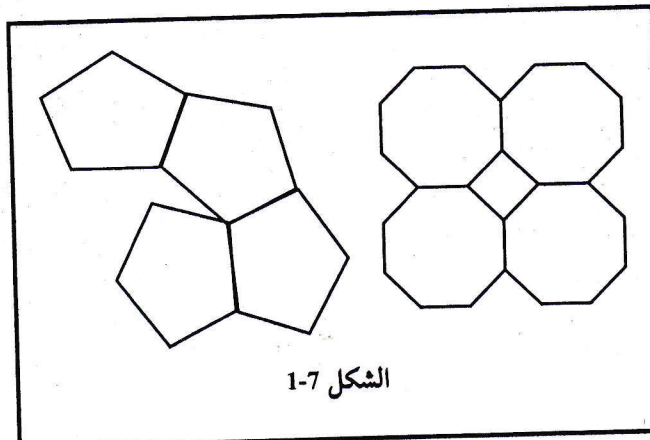
هـ. محور تمايل دوراني سداسي الثنية: إذا تسبب دوران بزاوية  $60^\circ$  حول محور ما الجسم لان يعيد نفسه، فانه بذلك يمتلك محور تمايل دوراني سداسي الثنية  $(6 = 360 / 60)$ . الشكل e .1-6



الشكل e .1-6

وبالرغم مما يبدو امتناك الاجسام الصلبة محاور دوران خماسية او سباعية او ثمانية او اكثر, إلا ان ذلك ليس ممكنا في البلورات, والسبب يعود الى ان البلورة ليست فقط جسماً صلباً وانما جسم صلب تترتب فيه الذرات دوريا بثلاثة ابعاد, وان هذه التكرارية المتماثلة للوحدة تحصل فقط عندما نأخذ محاور دوران الثنية الواحدة وثنائي الثنية وثلاثي الثنية ورباعي وسداسي الثنية. ومثلاً ما ترى في الشكل 7-1, اذا حاولنا جمع اجسام ذات خمس

ثنيات او ثمانية ثنيات فاننا لن نتمكن من جمعها بطريقة تملأ الفراغ تماماً، وإنما سنجد حصول فراغ بينها أو حصول تداخل بعضها مع بعض.

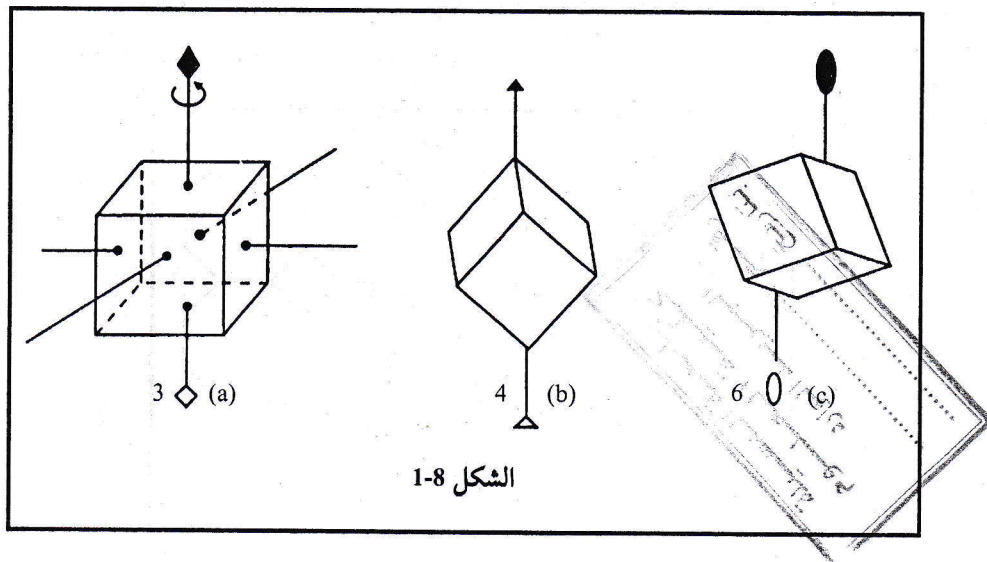


والجدول 1-1 يلخص انواع محاور التماثل الدوراني الممكنة في البلورات:

الجدول 1-1

| Name   | Alias      | Rotation | Symbol       |
|--------|------------|----------|--------------|
| monad  | One-fold   | 360      | ● (or- none) |
| diad   | Two-fold   | 180      | ◆            |
| Triad  | Three-fold | 120      | ▲            |
| Tetrad | Four-fold  | 90       | ◆            |
| hexad  | Six-fold   | 60       | ◆◆           |

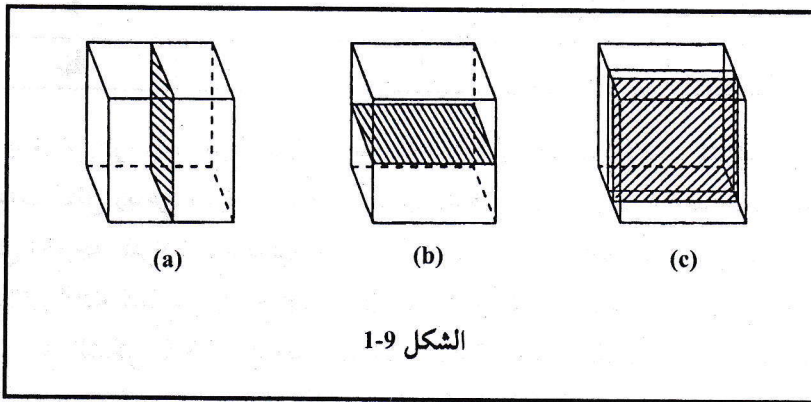
ولغرض توضيح فكرة محور التنااظر ذي  $n$  - ثنية لنأخذ مكعباً. يمتلك المكعب ثلاث محاور ذات تماثل رباعي الثنية وهذا موضح في الشكل a 1-8، وكل واحد منها عمودي على زوج من الوجه المتقابلة للمكعب. وان دوران المكعب حول قطره يظهر محور دوران ذي تماثل ثلاثي الثنية كما هو واضح في الشكل b 1-8 وعدد هذه المحاور اربعة عبر جميع اقطار المكعب. وفي الشكل c 1-8 هنالك ست محاور ثنائية الثنية عندما يتم تدوير المكعب حول الخط الذي يربط نقاط وسط زوج الاضلاع المتقابلة الموازية لبعضها الآخر.



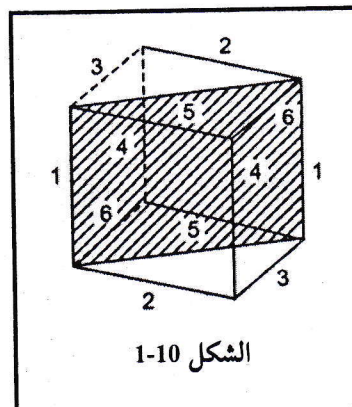
الشكل 1-8

## 2. مستوى التماثل Plane of symmetry

ان المستوى الذي يمر خلال بلورة ويقسمها الى نصفين بالشكل الذي يكون احد الانصاف مرآة للنصف الاخر يسمى مستوى التماثل ويرمز لمثل هذا المستوى بالرمز  $m$ . في البلورة المكعبة هنالك ثالث مستويات تمثل كل منها يوازي وجهين متقابلين من المكعب كما هو واضح من الشكل 9-1. والاضلاع السته للمكعب تظهر مستويات تمثل ثلاثة ايضا كما هو واضح في الشكل 10-1.

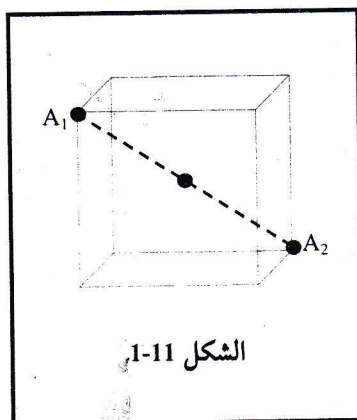


الشكل 1-9



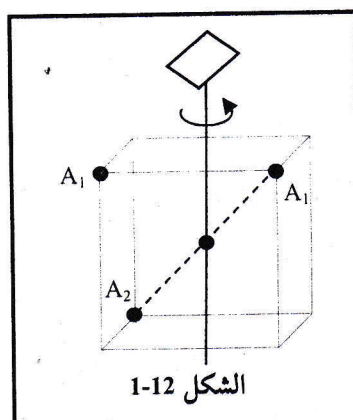
### 3. مركز الانقلاب Centre of inversion

هو تلك النقطة في البلورة التي ان رسم خط مستقيم من اية نقطة (ذرة)  $A_1$  على البلورة خلال المركز وانتج مسافة متساوية من الجانب الآخر لهذا المركز فانه سيلافي نقطة او ذرة مماثلة  $A_2$  (الشكل 1-11). تحليليا بالنسبة لنقطة  $(x, y, z)$  هنالك نقطة مماثلة عند  $(\bar{x}, \bar{y}, \bar{z})$ . ويرمز لمركز الانقلاب بالرمز  $\bar{I}$  (يقرأ واحد بار).



### 4. محور دوران-انقلاب Rotation-inversion axis

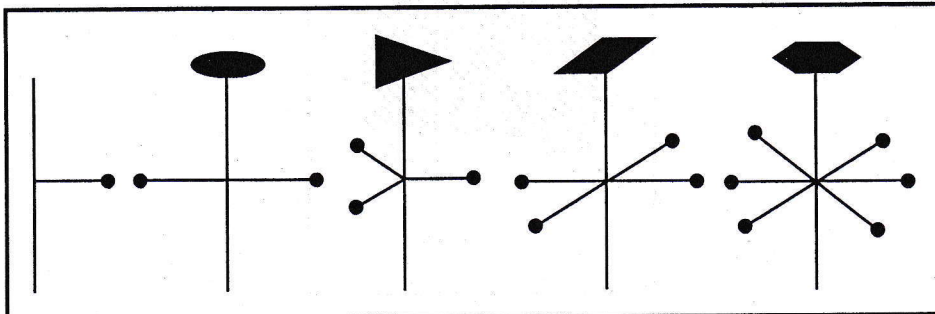
ذلك المحور الذي يترك الترتيب الذري للبلورة دونما تغيير عندما نقوم بتدوير البلورة حوله خلال زاوية  $2\pi/n$  radians ( $n = 1, 2, 3, 4, 6$ ) وتنبعه بانقلاب حول نقطة شبيكة يمر خلالها محور الدوران. ان عنصر التماثل هذا في الحقيقة محور تماثل مركب. يمكن تمثيل محاور دوران - انقلاب كـ  $\bar{I}, \bar{4}, \bar{3}, \bar{2}, \bar{6}$  (وتقرأ واحد بار، اثنين بار، وهكذا) وتعني على التتابع دوران بزاوية  $360^\circ, 180^\circ, 120^\circ, 90^\circ, 60^\circ$ .



من ثم انقلاب خلال المركز. ولكي نوضح مؤثر الدوران - انقلاب هذا نلاحظ الشكل 1-12. النقطة  $A_1$  تصبح عند موضع النقطة  $A'_1$  عند تدويرها بزاوية  $90^\circ$  ثم تصبح في موضع النقطة  $A_2$  عند الانقلاب.

## الفصل الأول

أمثلة عن محاور الدوران الخمسة (ثنية واحدة - ثنائية الثنية - ثلاثي الثنية ورباعي الثنوية وسداسي الثنوية):



وتجدر بالذكر ان هنالك اختيارات اخرى ممكنة كذلك لمؤثرات التناظر، ولكن تكون جميعها مكافئة للمجموعات الخطية للمؤثرات التي ذكرت اعلاه. وفي الواقع يتم تعين التماثل الكلي للفضاء حول نقطة بوساطة مجموعة من عناصر تماثل عند تلك النقطة وان جموعة مؤثرات تماثل بهذه عند نقطة تسمى جموعة نقطة Point group. ان جموعة النقطة هي تمثيل للطرق التي يمكن خلاها ترتيب عناصر التماثل العيانية بتوافق ذاتي حول نقطة هندسية واحدة ثابتة. ووجد ان هنالك 32 طريقة للقيام بذلك، ومن هنا هنالك 32 مجموعة نقطة.

يمكن تصنيف البلورات التي تعود الى انظمة مختلفة على اساس مجاميع نقطة. وفي البلورة يمكن جمع مؤثرات تماثل مجموعة النقطة مع عناصر التماثل الانتقالية (التي سنشرحها لاحقا) شريطة ان تكون متساوية. وان مثل هكذا مجاميع تسمى بالمجاميع الفضائية Space groups. وهنالك 230 مجموعة فضائية تظهر بوساطة البلورات.

### 1.6 عناصر التماثل الانتقالاني Translation Symmetry Elements

ان عنصر تماثل مجموعة نقطة ليس فقط يمكن ان يجمع مع عنصر اخر كهذا ليظهر عنصر تماثل هجين، ولكن كذلك يمكن ان يجمع مع الانتقال وهنالك عنصري تماثل انتقال تظاهر بوساطة البلورات:

#### 1. مستوي التزحلق Glide plane

يفضي مستوى تماثل (مستوي مرآة) يتحد مع مؤثر انتقال آني ( $\bar{T} = n_1\bar{a} + n_2\bar{b} + n_3\bar{c}$ ) الى مستوى تزحلق في بلورة ويكون مستوى التزحلق دائما

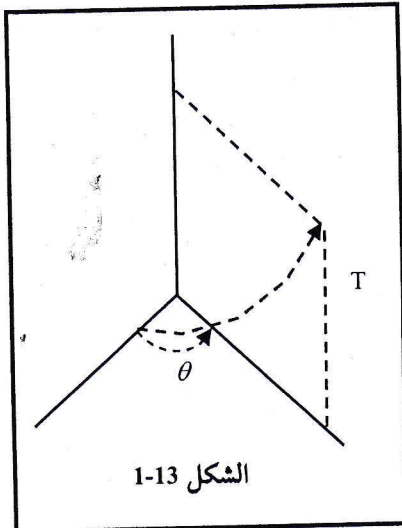
موازي الى مستوى التماثل. والجدول 1-2 يعرض مستويات الترافق المختلفة التي تظهر بوساطة بلورات.

الجدول 1-2

| مركبة المتجه $\vec{T}$   | الرمز | الزحف     |
|--|-------|-----------|
| $a/2$  | $a$   | زحف محوري |
| $b/2$  | $b$   | زحف محوري |
| $c/2$  | $c$   | زحف محوري |
| $\frac{a}{2} + \frac{b}{2}, \frac{b}{2} + \frac{c}{2} \text{ or } \frac{c}{2} + \frac{a}{2}$ | $n$   | زحف قطري  |
| $\frac{a}{4} + \frac{b}{4}, \frac{b}{4} + \frac{c}{4} \text{ or } \frac{c}{4} + \frac{a}{4}$ | $d$   | زحف الماس |

## Screw axis 2.

يفضي محور دوران يتحدد مع انتقال موازي لمحور الدوران الى عنصر تماثل يسمى المحور اللولبي.  
راجع الشكل 1-13 ويرمز للمحور اللولبي عادة بالرمز  $P_n$  ويبين دوران بزاوية  $\theta$  تساوي  $2\pi/P$  متساوية  
وانتقال يعطى بوساطة  $\frac{n}{P}$  مضروبا بتجهيز انتقال  $\vec{T}$ ، موازيا لمحور الدوران. على سبيل المثال لكي نقوم بهؤلاء المحور اللولبي.



ومن هنا سنعرف زاوية الدوران  $\theta = 2\pi/6 = 60^\circ$ . اما مقدار الانتقال فيكون  $n/P = 2/6 = 1/3a$  مضروبا بتجهيز الانتقال موازاة محور الدوران ونستمر نعيد هذه العملية حتى نكمل دورة تامة.  
ولما كان هنالك فقط خمس محاور دوران ممكنة في بلورة فيمكن ان يكون لدينا فقط 11 محور لولبي يتم تمثيلها كما يأتي:  $6_5, 6_4, 6_3, 6_2, 6_1, 4_1, 4_2, 4_3, 3_1, 3_2, 2_1$ .

## 1.7 شبائِك برافز Bravais lattices

شبائِك برافز هي مجموعة جميع الذرات المتكافئة في بلورة التي تعود لذاتها عندما تزاح بطول متجه وحدة باتجاه يوازي متجه الوحدة. تكون شبائِك برافز والشبائِك احادية الذرة متطابقة في العادة ولكن الشبائِك متعددة الذرات تتكون من العديد من شبائِك برافز المتماثلة هندسياً. غالباً ما تكون شبائِك برافز بلورة متعددة الذرات أكثر تماثلاً من شبائِك البلورة نفسها. فهي تحتوي على جميع عناصر تماثل البلورة وربما تمتلك عناصر تماثل إضافية. على سبيل المثال ربما تمتلك بلورة مستوية تماثل ثلثي الثانية بينما تمتلك شبائِك برافز تمثل سداسيَّة الثانية. وتمتلك شبائِك برافز مراكز انقلاب عند جميع المواقع بينما الشبائِك البلورية (بالضرورة متعددة الذرات) ليس بالضرورة أن تمتلك عنصر تماثل كهذا.

عندما نعرف شبائِك فاننا لا نضع قيوداً على الاطوال  $a$  و  $b$  و  $c$  والزوايا  $\alpha$  و  $\beta$  و  $\gamma$  بين كل زوج من الاطوال. ومن ناحية المبدأ هنالك عدد غير محدود من اشكال الشبائِك الممكنة. ولكن بالأخذ بعناصر التماثل المختلفة بالاعتبار يكون هنالك عدد ثابت من طرق ترتيب النقاط في فضاء الشبائِك، بحيث تمتلك كل نقاط الشبائِك المحيط نفسه تماماً. ان كل من هذه الترتيبات لشبائِك فضائية تسمى شبائِك برافز. جدير بالذكر ان عبارة شبائِك برافز ما هي الا عبارة شائعة لهذه الشبائِك وليس تعريفاً رسمياً، وفي الواقع الامر ان فرانكهيم Frankenheim هو اول من اشتق 15 شبائِك متوازي اسطح من النقاط في الفضاء. ولكن بعد سنوات ست في عام 1848 اثبت اوغست برافز Auguste Bravais ان العدد الممكن لمثل هذه الشبائِك هو 14 وان الشبائِك الخامسة عشر هي واحدة من هذه الشبائِك الاربعة عشر. ومن هنا اصبحت هذه الشبائِك الاربعة عشر تعرف بشبائِك برافز وبالطريقة نفسها عرف ان هناك 5 شبائِك برافز في بعدين.

### شبائِك برافز ببعدين

يتم تعريف وحدة الخلية ببعدين بوساطة متجهين أساسيين هما  $\bar{a}$  و  $\bar{b}$  والزاوية  $\alpha$  بينهما. وتعُرف الشبائِك العامة بان فيها  $a \neq b$  وان  $\alpha$  عشوائية في الاختيار وتسمى هذه الشبائِك بالشبائِك المائلة Oblique layyice والشكل 1-14 a يعرض الشبائِك المائلة. مثل هذه الشبائِك لا تتغير وتبقى كما هي فقط تحت تدوير  $2\pi/1$  و  $2\pi/2$  حول ايّة نقطة شبائِك. ونوع التماثل لها هو تماثل دوراني ثنائي - الثانية مع المؤثر العام (2,1).

اذا وضعنا بعض القيود على هذا النوع العام من الشبكة فسوف نحصل على أربع انواع أخرى من الشبائك ببعدين وتكون هذه الشبائك الخاصة ثابتة لا تتغير تحت تدوير  $2\pi/3$  أو  $4\pi/6$  أو  $2\pi/4$  أو تحت انعكاس مرآوي.

عندما تكون  $a = b$  والزاوية  $\alpha = 120^\circ$ ، فالشبكة تسمى شبكة سداسية كما يتضح من الشكل 1-14 b، وهذه الشبكة لا تتغير تحت تدوير  $2\pi/3$  و  $2\pi/6$  حول محور يمر خلال نقطة شبكة وعمودي على المستوى. وهذه الشبكة تمثل دوراني ثلاثي - الثنوية وسداسي - الثنوية وتماثل انعكاسي  $3m$  و تماثل انعكاسي يمررتين  $6mm$ .

وعندما تكون  $a = b$  والزاوية  $\alpha = 90^\circ$  فان هذه الشبكة تسمى بالشبكة المربعة وهي لا تتغير تحت تدوير  $4\pi/4$  ويوضحها الشكل 1-14 c. يمتلك هذا النوع من الشبائك محاور تماثل دورانية رباعية - الثنوية وتماثل انعكاسي يمررتين متعمدتين  $4mm$ . وتظهر حالتي الشبكة الاخرين عندما نسمح بالانعكاس المرآوي. لتكن وحدة المتجهات الاولية هي:

$$\vec{b} = b_x \hat{i} + b_y \hat{j} \quad \text{and} \quad \vec{a} = a_x \hat{i} + a_y \hat{j} \quad \dots \quad 1-3$$

اذ ان  $\hat{i}$  و  $\hat{j}$  وحدة متجهات عبر الاحداثي  $x$  و  $y$  على التالق. لوأخذنا الاحداثي  $x$  على انه خط الانعكاس فان  $\vec{a}$  و  $\vec{b}$  يكون لها انعكاسات عند  $\vec{a}'$  و  $\vec{b}'$  بالشكل:

$$\vec{b}' = b_x \hat{i} - b_y \hat{j} \quad \text{and} \quad \vec{a}' = a_x \hat{i} - a_y \hat{j} \quad \dots \quad 1-4$$

اذا كانت الشبكة لا تتغير تحت مؤثر الانعكاس فان  $\vec{a}'$  و  $\vec{b}'$  يجب ان تكون متجهات شبكة من النوع  $n_1 \vec{a} + n_2 \vec{b}$  اذ ان  $n_1$  و  $n_2$  هي اعداد صحيحة.

وهنا لدينا اختيارين:

الاول ان تكون  $\vec{a}$  و  $\vec{b}$  متعمدة تبادلية وبذلك:

$$\vec{b} = b \hat{j} \quad \text{and} \quad \vec{a} = a \hat{i}$$

وتكون:

$$\vec{b}' = -\vec{b} \quad \text{and} \quad \vec{a}' = \vec{a}$$

## الفصل الأول

وبذلك ستكون الشبكة معرفة على ان فيها  $a \neq b$  وان  $90^\circ = \alpha$ ، والتي لا تتغير تحت مؤثر الانعكاس وتسمى هذه الشبكة بالشبكة المستطيلة rectangular lattice. راجع الشكل 1-14. تمتلك هذه الشبكة مجاميع نقط تماثل هي تماثل انعكاسي  $2mm$  و  $1m$ .

والاختيار الثاني تكون فيه  $\bar{b}' = \bar{a}'$ ، أي من المعادلة 1-3:

$$b'_x \hat{i} - b'_y \hat{j} = (a_x - b_x) \hat{i} + (a_y - b_y) \hat{j}$$

بحيث ان:

$$b'_y = a_y - b_y \quad \text{و} \quad b'_x = a_x - b_x \quad \dots \dots \dots \quad 1-6$$

ولكن بالانعكاس من الاحداثي  $x$  لدينا:

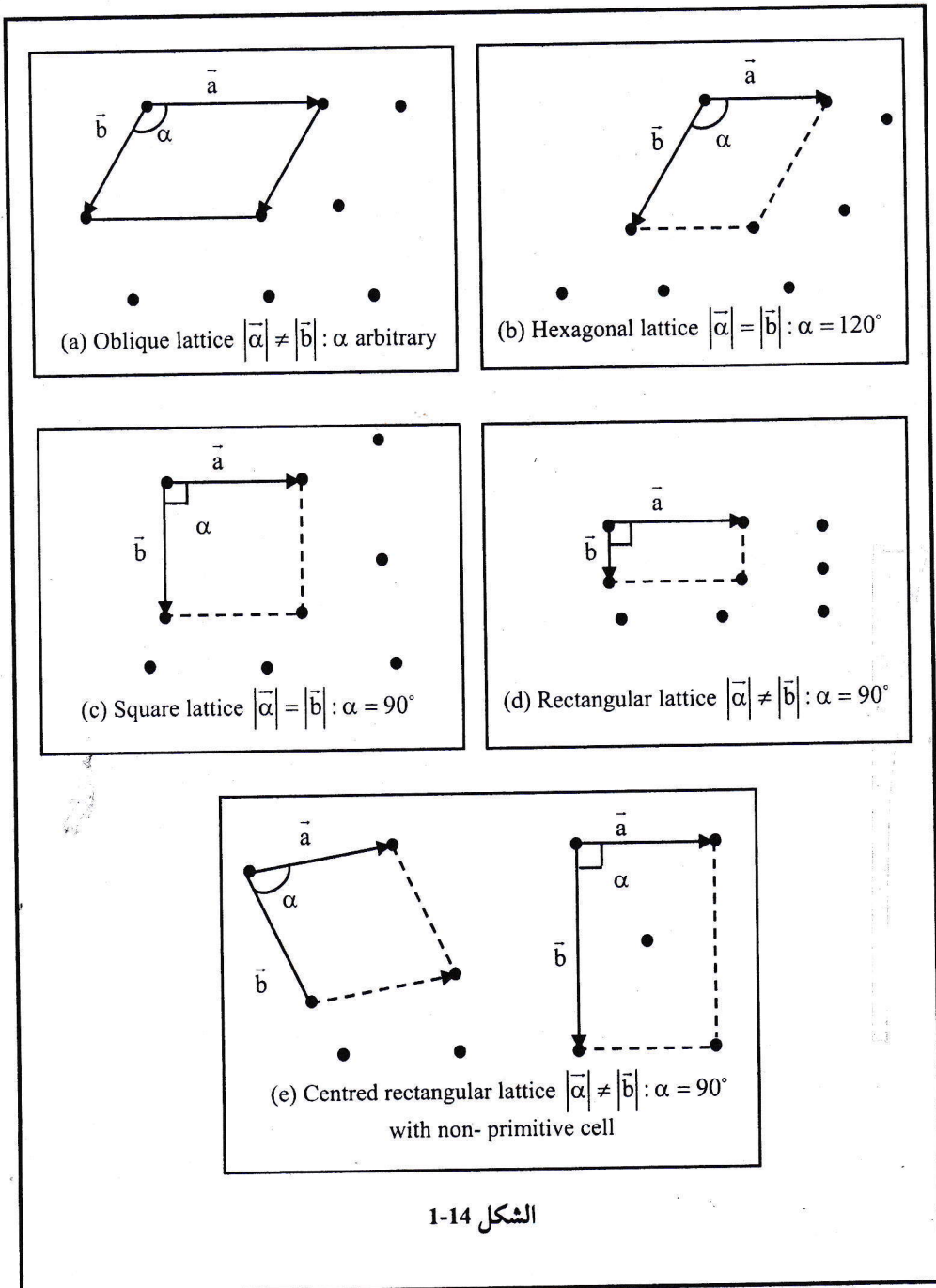
$$b'_y = -b_y \quad \text{و} \quad b'_x = b_x \quad \dots \dots \dots \quad 1-7$$

وبحل المعادلات 1-6 و 1-7 نحصل على:

$$b'_x = \frac{1}{2}a_x \quad \text{و} \quad a_y = 0$$

وبتعويض هذه القيم في المعادلة 1-4 يكون لدينا:

$$\bar{b}' = \frac{1}{2}a_x \hat{i} - b_y \hat{j} \quad \text{و} \quad \bar{a}' = a_x \hat{i}$$



الشكل 1-14

## الفصل الأول

او تعرف الشبكة الجديدة ذات تماثل المرأة كما يأتي:

$$\vec{b} = \frac{1}{2} a \hat{i} + b_y \hat{j} \quad \text{و} \quad \vec{a} = a \hat{i} \quad \dots \dots \dots \quad 1-8$$

وتسمى بالشبكة المستطيلة المركزة centered rectangular lattice التي يعرضها الشكل e-14-1. ومتلك مجاميع نقطة تماثل هي تماثل انعكاسي  $1m$  و  $2mm$ .

### شباتك برافز بثلاثة ابعاد

ذكرنا ان الشبكة البرافرية هي نظام غير محدد من النقاط يمكن تكوينه بالاعادة الانتقالية لنقطة واحدة وفي الابعاد الثلاثة. اوضح برافز انه من الممكن وجود 14 طريقة لترتيب النقاط في الفضاء ومن خلالها تستطيع الذرات أو الجزيئات أو الايونات المكونة للبلورة ان ترتب نفسها ضمن هذه الطرائق فقط. تختلف شباتك برافز الاربعة عشر بعضها عن بعض من حيث:

1. شكل وحدة الخلية.
2. أنواع التماثل التي تمتلكها.

يمكن تقسيم الشباتك الاربعة عشر على خمس أنواع أساسية تبعاً لكيفية توزيع نقاط الشبكة على وحدة الخلية وهي:

1. شباتك أولية Primitive lattices : يرمز لها بالرمز  $P$  ، وتكون من التجميع او الازاحة الطبيعية لأحد الشباتك المستوية الخمسة في فضاء ثلاثي الابعاد حيث يكون في كل ركن من اركان أي خلية نقطة شبكة واحدة فقط. وهذه النقطة الواحدة تكون مشتركة لثمانية خلايا متلاصقة وبذلك تكون حصة الخلية الواحدة من هذه النقطة  $\frac{1}{8}$  نقطة. لذلك فان كل وحدة خلية أساسية او أولية تحوي نقطة شبكة واحدة فقط.

2. شباتك مركز الوجه Face-centered lattices: يرمز لها بالرمز  $F$  ، وهي شباتك أولية ولكن مع وجود نقطة شبكة في مركز كل وجه من الاوجه الستة للخلية. تحتوي وحدة الخلية اربعة نقاط شبكة حيث تعتبر كل نقطة في مركز وجه مشتركة لخلتين متلاصقتين، لذلك فنصفها يسهم في خلية ما. تحتوي خلية الشبكة مركز الوجه على اكبر عدد ممكن من نقاط الشبكة مقارنة بالانواع الخمسة للشباتك.

3. شبائك مركز الجسم **Body-centered lattices**: يرمز لها بالرمز  $I$ , تمتاز بوجود نقطة شبكة واحدة في مركز الخلية إضافة إلى النقاط الموجودة في اركان الخلية، وبذلك تحتوي على نقطتين شبكتي فقط.

4. شبائك مركز الجانب أو القاعدة **Base or Side centered lattices**: يمتاز هذا النوع من الشبائك بوجود نقطة شبكتي واحدة عند كل من مركزي زوج من الوجه الموازية لبعضها فضلاً عن النقاط الموجودة في اركان الخلية. إذا كان هذا الزوج من الوجه يمثل سطحي البداية والنهاية للمتجه  $\bar{c}$  تسمى الشبكت شبكتة مركز القاعدة  $C$ ، وإذا كان هذا الزوج من الوجه يمثل سطحي البداية والنهاية للمتجه  $\bar{a}$  وتسمى الشبكت شبكتة مركز القاعدة  $A$ ، وإذا كان هذا الزوج من الوجه يمثل سطحي البداية والنهاية للمتجه  $\bar{b}$  تسمى الشبكت شبكتة مركز القاعدة  $B$ . تحتوي وحدة الخلية في هذا النوع من الشبائكم نقطتي شبكتي فقط.

5. شبكتة معينة الوجه **Rhombohedral lattices**: ويرمز لها بالرمز  $R$ . إن معين الوجه هو شكل تكون أضلاعه الثلاثة متساوية  $a = b = c$  ولكنها ليست متعامدة وفيها تكون  $\alpha = \beta = \gamma \neq 90^\circ$ .

تتوزع هذه الانواع الخمسة من الشبائكم الفضائية على الانظمة البلورية ومنها نحصل على 14 نوعاً من الشبائكم البلورية المكونة للانظمة البلورية المختلفة. ويمكن جدوله هذه الشبائكم الاربعة عشر على سبعة انظمة مختلفة للمحاور. ويعرض الشكل 15-1 شبائكم برافس الاربعة عشر والتي واحدة منها هي شبكت شبكتة عامة وهي شبكتة ثلاثي الميل (triclinic) والثلاث عشر الباقية هي انواع خاصة.

يمكن لنا الان ان نعرف الانظمة البلورية السبعة:

1. النظام البلوري ثلاثي الميل **Triclinic**: ويمثل الشبكت شبكتة عامة كما ذكرنا، ويعرف بان فيه  $a \neq b \neq c$  والزوايا فيه  $\alpha \neq \beta \neq \gamma \neq 90^\circ$  ويسمى بنظام ثلاثي الميل ومتلك هذه الشبكتة الحد الأدنى من التمايز وليس لها محور تماثل وتمثل بالرمز  $P$ .

2. النظام البلوري أحادي الميل **Monoclinic**: ويعرف هذا النظام بان فيه  $a \neq b \neq c$  والزوايا فيه  $\beta = 90^\circ \neq \alpha = \gamma$  وتكون الزاوية  $\beta$  حادة او بين  $90^\circ$  و  $180^\circ$ . هنالك نوعان من هذا النظام احدهما أحادي الميل بسيط يرمز له بالرمز  $P$  والاخر مركز

## الفصل الأول

القاعدة يمتلك نقطتين عند مراكز زوج الاوجه المتعاكسة التي يرمز لها بالرمز  $C$  ولهذا النظام محور ثبائي الثنية فقط.

3. **النظام البلوري المعيني القائم Orthorhombic:** ويتم الحصول على هذا النظام عندما تكون  $a \neq b \neq c$  والزوايا  $\alpha = \beta = \gamma = 90^\circ$ . لهذا النظام اربع انواع من الشبائك، البسيط  $P$  والمراكز القاعدة  $C$  والمراكز الجسم والاوجه. الخلية مركزة الجسم هي خلية بسيطة مع نقطة اضافية عند تقاطع اقطار الجسم ويرمز له بالرمز  $I$ . والخلية مركزة الاوجه هي كذلك خلية بسيطة مع نقاط اضافية عند مراكز ازواج الاوجه الثلاثة، أي جميع الاوجه السته مركزة ويرمز مثل هذه الشبيكة بالرمز  $F$  ومتلك ثلاث محاور ثبائية - الثنية متعامدة تبادلية.

4. **النظام البلوري الرباعي Tetragonal:** ويعرف هذا النظام البلوري بان فيه  $a = b \neq c$  والزوايا  $\alpha = \beta = \gamma = 90^\circ$ . يمكن ان تكون الخلية الرباعية بسيطة  $P$  او مركزة الجسم  $I$ .

5. **النظام البلوري الثلاثي Trigonal:** نحصل على هذا النظام البلوري عندما تكون  $a = b = c$  و الزوايا فيه  $\alpha = \beta = \gamma \neq 90^\circ < 120^\circ$  ويسمي كذلك نظام معيني rhombohedral لامكانية اشتقاقه بوساطة البدء من خلية مكعبه وضغطها (او استطالتها) عبر قطراها. ويتلك هذا النظام نقطة شبيكة واحدة فقط، فهو نظام بسيط يرمز له بالرمز  $P$  وله محور ثلثي واحد وهذا المحور الفريد يميل بالتساوي عن المحاور الثلاثة.

6. **النظام البلوري المكعب Cubic:** ويعرف بان فيه  $a = b = c$  وان  $\alpha = \beta = \gamma = 90^\circ$ . وله ثلاث انواع من الشبائك هي المكعب البسيط (s.c.) ويرمز له بالرمز  $P$  والمكعب مركز الجسم (b.c.c.) ويرمز له بالرمز  $I$  والمكعب مركز الاوجه (f.c.c.) ويرمز له بالرمز  $F$ . ولهذا النظام اربع محاور رباعية.

7. **النظام البلوري السادساني Hexagonal:** ويتميز بان فيه  $a = b \neq c$  وان  $\alpha = \beta = 90^\circ ; \gamma = 120^\circ$ . في هذا النظام هنالك فقط نقطة شبيكة واحدة ويرمز له بالرمز  $P$ . له محور سداسي واحد وهذا المحور الفريد يكون قائم الزاوية مع بقية المحورين.

| Crystal system      | Bravais lattices                               |                            |   |   |
|---------------------|--|----------------------------|---|---|
| <u>triclinic</u>    | P<br>$\alpha, \beta, \gamma \neq 90^\circ$<br> |                            | P<br>$\alpha \neq 90^\circ$<br>$\beta, \gamma = 90^\circ$<br> | C<br>$\alpha \neq 90^\circ$<br>$\beta, \gamma = 90^\circ$<br> |
|                     |  | monoclinic                 |   |   |
| <u>orthorhombic</u> | P<br>$a \neq b \neq c$<br>                     | C<br>$a \neq b \neq c$<br> | I<br>$a \neq b \neq c$<br>                                    | F<br>$a \neq b \neq c$<br>                                    |
|                     | b  | b                          | b   | b   |
| <u>tetragonal</u>   | P<br>$\alpha \neq c$<br>                       | I<br>$\alpha \neq c$<br>   |   | A<br>$\alpha \neq c$<br>                                      |
|                     | c  | c                          | hexagonal   | c   |
| <u>cubic</u>        | P<br>$\alpha$<br>                              | I<br>$\alpha$<br>          | F<br>$\alpha$<br>   | P<br>$\alpha, \beta, \gamma \neq 90^\circ$<br>                |
|                     |  |                            | rhombohedral<br>(trigonal)                                    |   |

الشكل 1-15

الفصل الأول

يعرض الجدول 1-3 حجم مختلف وحدات الخلية.

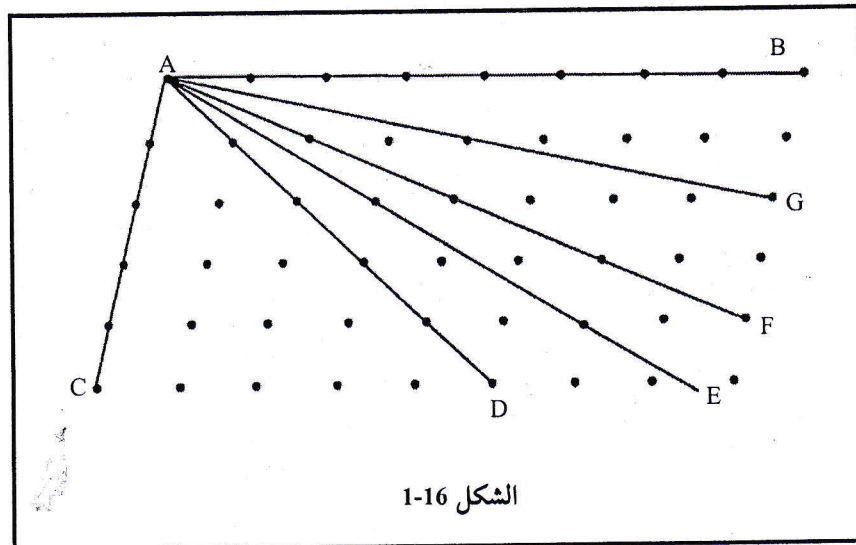
الجدول 1-3

| النظام البلوري<br>Crystal system | الحجم<br>Volume  |
|----------------------------------|--|
| ثلاثي الميل<br>Triclinic         | $abc \sqrt{1 - \cos^2 \alpha - \cos^2 \beta - \cos^2 \gamma + 2 \cos \alpha \cos \beta \cos \gamma}$ |
| حادي الميل<br>Monoclinic         | $abc \sin \alpha$  |
| معيني قائم<br>Orthorhombic       | $abc$  |
| رباعي<br>Tetragonal              | $a^2 c$  |
| ثلاثي<br>Rhombohedral            | $a^3 \sqrt{1 - 3 \cos^2 \alpha + 2 \cos^3 \alpha}$   |
| سداسي<br>Hexagonal               | $\frac{3\sqrt{3}a^2 c}{2}$   |
| مكعب<br>Cubic                    | $a^3$  |

### 1.8 معاملات ميلر Miller indices

قبل الخوض في خطوات ميلر في تعريف مستويات البلورات يكون ضروريًا أن نأخذ فكرة عن أوجه البلورة. نحن نعرف أن الذرات أو الجزيئات أو الأيونات ترتيب نفسها بانتظام وتكرارية في البلورة بالأبعاد الثلاثة، وإن هذه النظمية تمتد عبر مسافات طويلة مقارنة مع وحدة التكرارية. لذا نأخذ أولاً الحالة الموضحة في الشكل 1-16 لشبكة ببعدين. تعتبر الخطوط الموازية إلى  $AB$  و  $AC$  هي الخطوط التي تمتلك أعلى كثافة من النقاط عليها، أما بقية الخطوط مثل  $AD$  و  $AE$  والتي اخرها تمتلك كثافة نقاط أقل. إن هذه الخطوط عندما تتعامل مع الشبكة ثلاثة الأبعاد تصبح مستويات (عمودية على سطح الورقة). إن نمو البلورة يحدث بطريقة تكون فيها المستويات ذات الأكبر كثافة عند الأوجه الطبيعية للبلورة، ومن هنا نستنتج ببساطة أن أوجه البلورة الموازية إلى  $AB$  و  $AC$  ستتحمل العلاقة الزاوية نفسها كما تملك التي بين مستويات الشبكة  $AB$  و  $AC$ . وهذا يعني أن الزوايا البيانية بين

الوجوه ستبقى بذات العلاقة مع مستويات الشبكة  $AB$  و  $AC$ . ولما كانت الاوجه موازية الى مستويات معرفة من نقاط الشبكة فان الزوايا بين الاوجه تكون ثابتة في البلورات المختلفة للمادة نفسها. ان التغيرات في الابعاد الواقعية للبلورات والتطور النسيي للاووجه لا ي مادة معينة لا يغير الزوايا بين الاوجه، شريطة ان يكون نوع الاوجه نفسه تحت المناقشة. ولما كانت كل مستويات الشبكة الموازية الى  $AB$  (وكذلك بالطريقة نفسها بالنسبة للمستويات الموازية الى  $AC$ ) متكافئة فتكون كافية لتعطي اتجاه المستويات بدون اعطاء مواقعها في الفضاء.



لكي نعرف اتجاه مستوى يتطلب تعريف محاور الاحداثيات او لا بدالة الاتجاه وانتقال الوحدة. اذا علمنا نظامية ترتيب نقاط الشبكة يصبح من السهل اختيار اكبر المجاميع ملائمة لمحاور الاحداثيات ووحدة الخلية. لذا نأخذ المستويات التي اثارها هو  $AB$  والمستويات التي اثارها هو  $AC$  والمستويات  $BAC$  (مستوى الورقة). ان هذه المستويات تقسم كاملاً الفضاء ضمن البلورة الى عدد كبير من متوازيات السطوح كلها متشابهه في الشكل والابعاد. ان اطوال اضلاع هذه الاسطح المتوازية يعطي معاملات الشبكة نفسها عبر محاور الاحداثيات الثلاثة، وكذلك تعرف الزوايا  $\alpha$  و  $\beta$  و  $\gamma$  المتضمنة بوساطة الاحداثيات. ان مقدار  $a$  و  $b$  و  $c$  و  $\alpha$  و  $\beta$  و  $\gamma$  تعد صفات مادة معينة. جدير بالذكر ان اختيار ثلاث مجاميع من المستويات المتقطعة يعد أمرا اعتباطيا الى حد بعيد ولكن الاختيار المناسب

## الفصل الأول

سيفضي الى ان يكون التماثل الواقع تحت البحث افضل وبذلك يفضل الاختيار المناسب لهذه الجاميع.

يمكن تحديد موضع وتجهيز orientation مستوى ببلورة بواسطة أي ثلات نقاط ليست على استقامة واحدة في المستوى. واذا كانت هذه النقاط تقع على محاور بلورة فيمكن تعين المستوى من خلال معرفة مواضع النقاط عبر المحاور بدلالة ثوابت الشبيكة. ولكن عند تحليل التركيب يكون اكثرا الطرق فائدة في تعين توجيه مستوى هي تلك التي اقترحها ميلر Miller في تعريف مستوى بواسطة ثلات اعداد صحيحة تشتق بطريقة معينة من خلال تقاطعاتها بواسطة المستوى المعنى بالدراسة. وتسمى الاعداد الثلاثة الصحيحة التي تعرف المستوى بمعاملات ميلر للمستوى ويتم اشتقاقها تبعا للخطوات التالية:

1. جد التقاطعات التي يصنعها المستوى على المحاور  $\bar{a}$ ,  $\bar{b}$ ,  $\bar{c}$  وعبر عنها كمضاعفات لوحدة المسافات عبر المحاور الثلاثة.
2. خذ مقلوب هذه الأعداد.
3. نأخذ المضاعف المشترك الأصغر للمقامات ونضرب بهذه الأعداد لنحصل على اصغر ثلات اعداد تمتلك النسبة نفسها.

يتم حصر النتيجة بين قوسين بدون ان نضع فوارز بين الأعداد. نعبر عن معاملات ميلر بالصورة  $(hk\ell)$ .

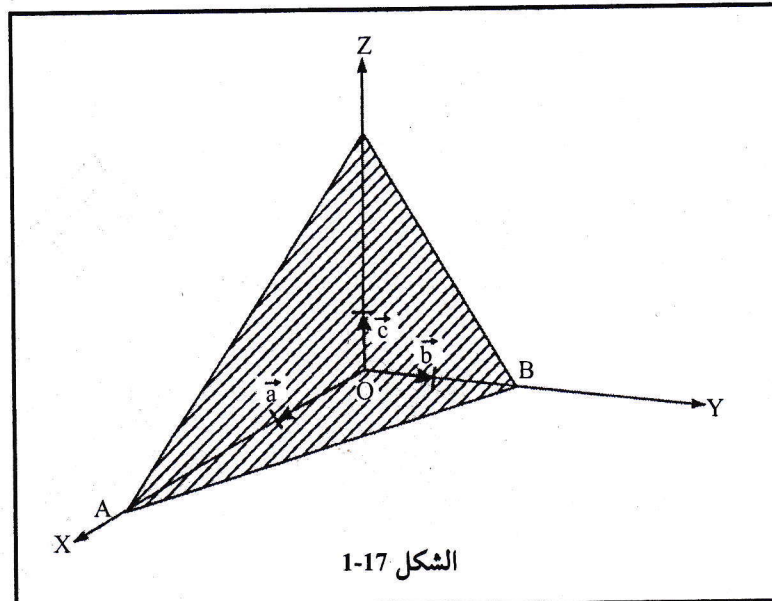
### مثال 1-3

اذا قطع مستوى المحاور  $\bar{c}$  و  $\bar{b}$  و  $\bar{a}$  عند  $4c$  و  $2b$  و  $3a$  على التعاقب. لاحظ الشكل 1-17. حدد معاملات ميلر لهذا المستوى.

الحل:

$$\text{نأخذ مقلوب هذه الأعداد وهي: } \frac{1}{3}, \frac{1}{2}, \frac{1}{4}$$

ونأخذ المضاعف المشترك الأصغر للمقامات وهو 12 ونضرب بهذه الأعداد لنحصل على اصغر الأعداد التي لها النسبة نفسها وتكون هي 4, 6, 3. وبذلك يتم تمثيل معاملات ميلر للمستوى مثل كما يلي: (463).



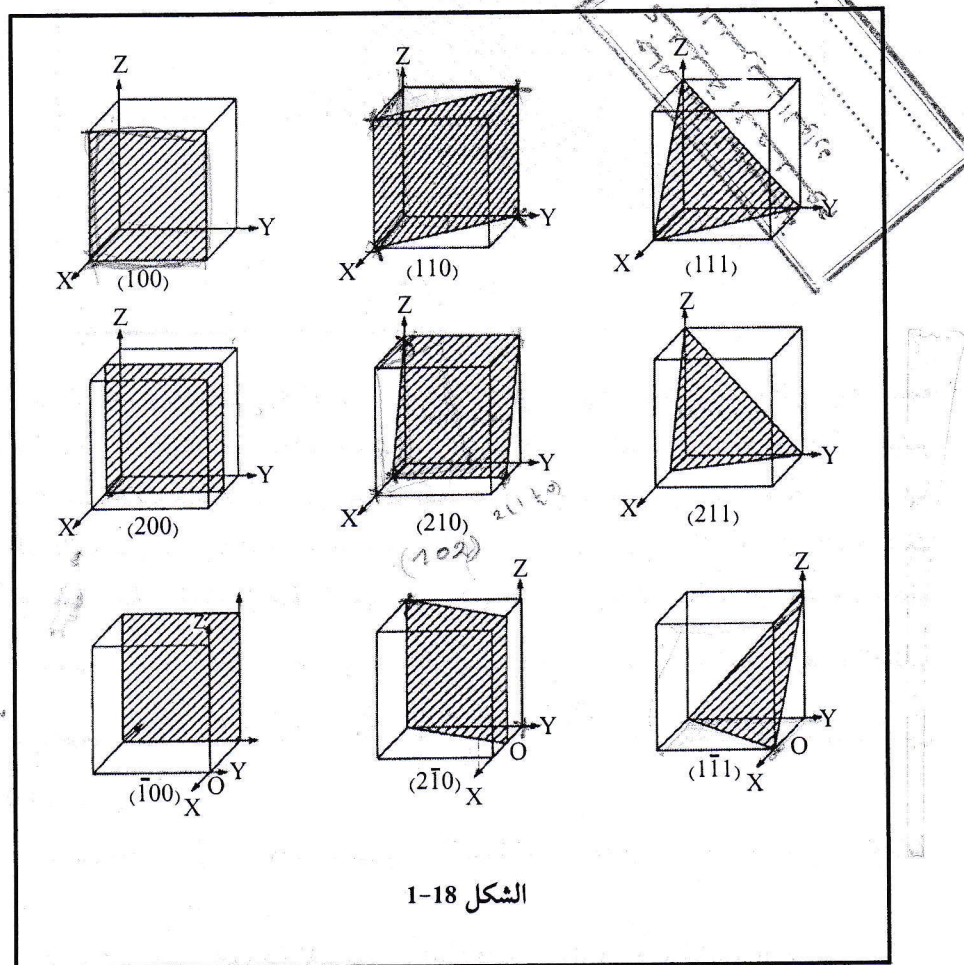
ان كل المستويات الموازية لبعضها البعض الاخر، والتي بذلك تمتلك التوجيه نفسه بالنسبة للمحاور الثلاثة تعود لعائلة المستويات نفسها ويتم تمثيلها بوساطة معاملات ميلر نفسها. ان معاملات ميلر بذلك هي ليست فقط تقوم بتحديد مستوى منفرد ولكن مجموعة او عائلة كاملة من المستويات ذات التوجيه المتشابه. ومن بين كامل عائلة المستويات هنالك واحد منها يمر خلال نقطة الاصل نفسها. على اي حال، سيكون هنالك واحد منها هو الاقرب لنقطة الاصل المختارة وسيقطع التقاطعات  $\frac{c}{l}, \frac{b}{k}, \frac{a}{h}$ . وبقية اعضاء العائلة تقطع التقاطعات  $\frac{2a}{h}, \frac{2b}{k}, \frac{2c}{l}; \frac{3a}{h}, \frac{3b}{k}, \frac{3c}{l}; \dots; \frac{na}{h}, \frac{nb}{k}, \frac{nc}{l}$  بحيث تبقى النسب بين التقاطعات نفسها.

الشكل 1-18 يعرض بعض مستويات البلورة الموصوفة في وحدة خلية مع معاملات ميلر لها.

ربما يستدل على مجموعة المستويات المتكافئة بالتماثل او متكافئة بقدر ما يتعلق بالمسافات البنية بين المستويات وكثافة الذرات بوساطة الأقواس المعددة، أي أقواس حول المعاملات بهذا الشكل  $\{h k l\}$ . الشكل 1-18 يعرض مستويات مختلفة داخل خلية بلورة. المستوى الذي يقطع الاحدائي  $X$  عند وحدة مسافة ويكون موازي للحادائي  $Y$

## الفصل الأول

والاحدائي  $Z$  يقطع التقاطعات  $1a, \infty, \infty$  وان معاملات ميل لهذا المستوى هي  $(100)$  ويسمى هذا المستوى بمستوي  $A$  أو المستوي  $YZ$  أو المستوي  $bc$ . وبالطريقة نفسها معاملات المستويات  $B$  و  $C$  هي  $(010)$  و  $(001)$  على التالق. اذا قطع مستوى احادائي من الطرف السالب لنقطة الأصل يكون المعامل الخاص به سالباً ويتضمن بوساطة خط فوق المعامل:  $(hk\ell)$  والشكل 1-18 يعرض المستويات  $(100)$  و  $(2\bar{1}0)$  و  $(1\bar{1}1)$ .



بالنسبة للبلورات ذات التماثل العالي ربما ترتبط مستويات معينة بواسطة التماثل وبذلك تكون متكافئة من وجهة النظر الذرية. بذلك، بالنسبة للبلورات ذات تماثل مكعي تكون فيها معاملات وحدة الخلية  $\bar{a}$  و  $\bar{b}$  و  $\bar{c}$  متساوية بالمقدار ومتعاونة تبادلية، فان أي

تحويل او تغيير لاشارة المعاملات ينتج مستوى مكافئ. وعلى سبيل المثال المستويات (100) و (100) مستويات متكافئة وكذلك المستوى (111) يكافئ المستوى (111) والمستوى (210) يكافئ المستوى (210).

**ملاحظة**

من خلال ملاحظة عامة لحيود الاشعة السينية كانت شد الانعكاس عن ( $hk\ell$ ) و ( $\bar{hk}\ell$ ) نفسها وهذا معناه ان مقدار الشدة المتشتتة عن مستويات ( $hk\ell$ ) من احد جوانب نقطة الاصل هي نفسها من الجانب المعاكس ويسمى هذا التعميم بقانون فريدل Friedel's law . ورغم ان هنالك استثناءات له ولكن في العموم تمتلك انباط حيود الاشعة السينية مركز تماثل بالإضافة الى أي مما تملكه البلورة نفسها من عناصر تماثل.

**ملاحظة**

لوحظ بشكل شائع ان معاملات ( $hk\ell$ ) لوجه بلورة تكون اعداد صحيحة صغيرة (موجبة او سالبة) ونادر ما تكون اكبر من ثلاثة. وان ارقام اكبر من 5 تكون شحيحة للغاية في البلورات الطبيعية وتسمى هذه الملاحظة العملية بقانون المعاملات المقولقة law of rational indices ويتاتي هذا القانون ببساطة من فكرة براز، انه في العموم وعند نمو البلورة فانه فقط تلك المستويات التي تحدث كوجوه طبيعية تمتلك كافة عاليه من نقاط الشبكة وغالباً ما تسمى وجوه كهذه بمستويات بسيطة وتمتلك معاملات ميل واطنة.

### 1.9 معاملات الاتجاه في البلورة Indices of a direction in a crystal

لكي نثبت معاملات الاتجاه علينا ان نحرك نقطة من نقطة الاصل عبر ذلك الاتجاه حتى تصل اول نقطة شبكة احداثياتها  $ua, vb, wc$  وستكون معاملات الاتجاه هي  $u, v, w$  و تكتب بين اقواس مربعة دون فوارز  $[uvw]$ . وتكتب معاملات الاتجاه  $\vec{r} = u\vec{a} + v\vec{b} + w\vec{c}$  في البلورة كما يأتي  $[uvw]$ ، ولتعريف  $[uvw]$  نعرف معاملات ميل لمستوي فنقول: ان معاملات الاتجاه  $[uvw]$  في بلورة هي مجموعة اصغر اعداد صحيحة تمتلك نسبة مرکبات المتجه في الاتجاه المطلوب تعود للحادي. بعبارة اخرى ان  $w, v, u$  هي احداثيات نقطة شبكة الاولى على المتجه، وستكون هذه هي اصغر الاعداد الصحيحة التي تتم الحركة من نقطة الاصل. وان نقاط الشبكة التي بعدها على هذا الاتجاه هي تلك التي تملك احداثيات  $2w, 2v, 2u; 3w, 3v, 3u$  وهكذا..

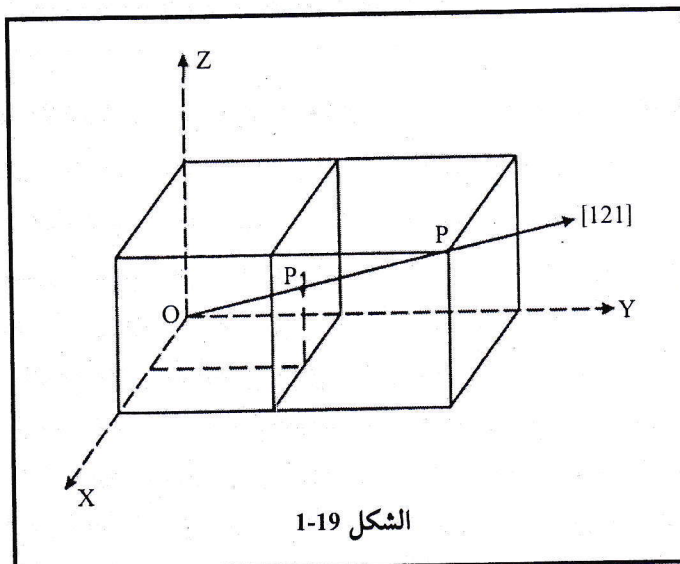
## الفصل الأول

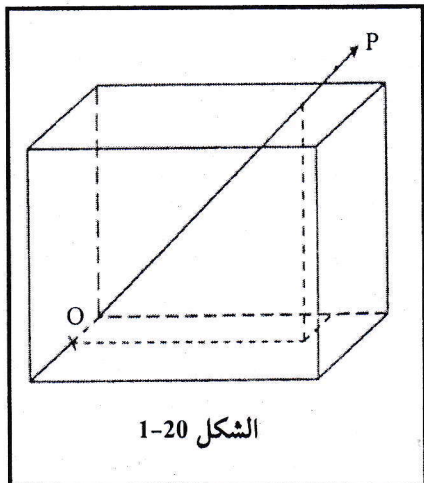
المحور  $a$  هو اتجاه  $[100]$  بينما المحور  $-a$  اتجاهه  $[\bar{1}00]$  وبالطريقة نفسها الاتجاه الموجب والسلبي للمحور  $b$  هما  $[010]$  و  $[\bar{0}\bar{1}0]$  بينما الاتجاهات الموجبة والسلبية للمحور  $c$  هي  $[001]$  و  $[\bar{0}\bar{0}1]$ . وبالطريقة نفسها الوجه القطري للمستوي  $ab$  يمتلك المعاملات  $[110]$  ومعاملات الوجه القطري للمستويات  $bc$  و  $ca$  هي  $[011]$  و  $[101]$  حسب الترتيب.

ولما كانت مستويات بلورة ذات معاملات ميلر مختلفة متكافئة فيجب أن تكون الأعمدة على هذه المستويات المتكافئة متكافئة. ومن هنا تكون الاتجاهات ذات المعاملات المختلفة متكافئة. إن المجموعة الكاملة للاتجاهات المتكافئة التي لها  $[uvw]$  عضواً يعبر عنها بوساطة ضم المعاملات بالشكل  $>uvw<$ . وإن اقطار جسم البلورة المكعبة المختلفة هي  $[111]$  و  $[\bar{1}\bar{1}\bar{1}]$  و  $[1\bar{1}\bar{1}]$  و  $[\bar{1}\bar{1}1]$  و  $[11\bar{1}]$  و  $[\bar{1}\bar{1}\bar{1}]$  و  $[1\bar{1}1]$  وكلها متكافئة وتتمثل كما يلي  $>111<$ . في الحقيقة في بلورة مكعبة يكون اتجاه  $[uvw]$  عمودياً على المستوى ذي معاملات ميلر  $(uvw)$  كنتيجة للتماثل وفي هذه الحالة يكون التمييز بين نوعي الرموز غير مهم ولكن ليس حقيقياً في أشكال البلورة الأخرى.

لكي نوضح الان كيفية رسم اتجاه  $[uvw]$  سنأخذ اتجاه  $[121]$ .

تبعاً لما قمنا به اعلاه علينا تحريك المسافات  $\bar{a}$  و  $\bar{b}^2$  و  $\bar{c}$  كي تصل النقطة  $P$  كما هو واضح في الشكل 19-1. وبعدها سيعطينا  $OP$  الاتجاه المطلوب.





يمكنا ان نحصل على الاتجاه نفسه عند التحرير ضمن وحدة خلية منفردة اذا قمنا بتقسيم الاعداد بوساطة 2 او ان تكون لدينا المعاملات  $\left[ \frac{1}{2} I \frac{1}{2} \right]$ . احداثيات  $P_I$  هي  $\frac{1}{2}, \frac{1}{2}, \frac{1}{2}$  وعند مرور  $OP_I$  ليمر خلال  $X, Y, Z$  باحداثيات هي  $I, 1, 1$ . عموما اذا كانت اعداد صحيحة واذا قمنا بقسمة  $p, q, r$  هي  $w = rc, v = qb, u = pa$  اعداد صحيحة وان  $p, q, r$  هي اكبر عدد بين  $p, q, r$  ولنقل الان هو  $r$  فيكون

لدينا  $u = \frac{p}{r}a, v = \frac{q}{r}b, w = \frac{r}{r}c$  وذلك بوساطة الحركة خلال  $\frac{p}{r}$  عبر الاحداثي  $X$  وخلال  $\frac{q}{r}$  عبر الاحداثي  $Y$  وخلال  $c$  عبر الاحداثي  $Z$  ضمن وحدة خلية منفردة يمكننا الحصول على الاتجاه  $[uvw]$ . على سبيل المثال يمكن كتابة الاتجاه  $[234]$  على انه  $\left[ \frac{1}{2} \frac{3}{4} I \right]$  ويرسم بسهولة في وحدة خلية منفردة كما هو في الشكل 1-20.

### 1.10 المسافات البينية بين المستويات في البلورة

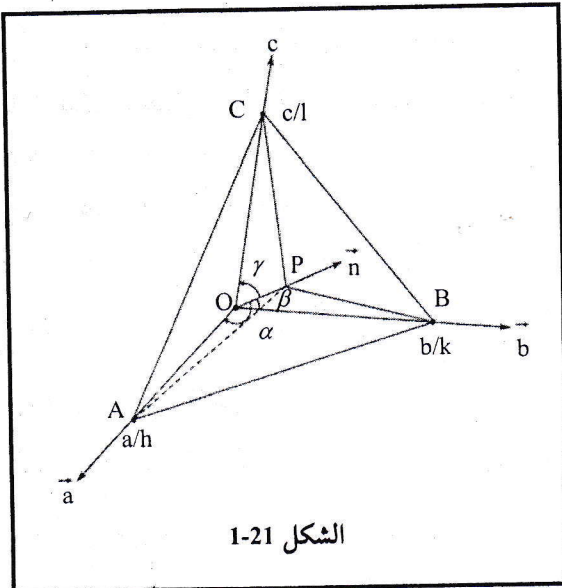
#### Interplaner spacing in crystals

في البلورة تكون عائلة مستويات  $(hkl)$  من عدد كبير من مستويات موازية لبعضها البعض الآخر وتفصل بينها مسافات متساوية، ويمكن تعين هذه المسافة البينية بين المستويات المجاورة لمجموعة مستويات  $(hkl)$  بأخذ أي نقطة شبيكة كنقطة اصل وحساب المسافة العمودية بين نقطة الاصل هذه واقرب مستوى الى نقطة الاصل. وان التقاطعات التي تقطع بوساطة هذا المستوى على المحاور هي  $a/h$  و  $b/k$  و  $c/l$  كما يتضح ذلك في الشكل 1-21. اذا كان  $\vec{n}$  يمثل وحدة المتجه العمودي على هذا المستوى وان  $P$  نقطة على هذا المستوى والعمود  $\vec{n}$  تكون المسافة البينية بين المستويات بالنسبة الى مستويات  $(hkl)$  هي:

$$d_{hkl} = \frac{a}{h} \cos \alpha = \frac{\vec{n} \cdot \vec{a}}{h}$$

$$d_{hk\ell} = \frac{c}{\ell} \cos \gamma = \frac{\vec{n} \cdot \vec{c}}{\ell}$$

ان  $\cos \alpha$  و  $\cos \beta$  و  $\cos \gamma$  هي اتجاهات جيب تمام العمود.



يمكن ان نحصل على علاقه  
 $d_{hk\ell}$  لانظمة البلورات السبعة بدالة  
 معاملات المستويات وثوابت الشبيكة  
 a,b,c, $\alpha$ , $\beta$ , $\gamma$  . ان علاقة الحالة  
 العامة لنظام الميل الثلاثي معقدة جدا،  
 واننا سوف نشتغل العلاقة بالنسبة  
 للنظام المتعامد. وهذا النظام سنأخذ  
 الاحداثيات x و y و z عبر  
 الاتجاهات  $\bar{a}$  و  $\bar{b}$  و  $\bar{c}$  على  
 التعاقب. ومن ثم سيكون جمع مربع  
 اتجاهات جيب التمام للعمود  $\bar{n}$   
 مساوياً 1. لدینا من المعادلة 9-1:

$$\cos^2 \alpha + \cos^2 \beta + \cos^2 \gamma = \frac{h^2 d_{hk\ell}^2}{a^2} + \frac{k^2 d_{hk\ell}^2}{b^2} + \frac{\ell^2 d_{hk\ell}^2}{c^2} = 1$$

۹۰

ومعادلة المستوي  $(hk\ell)$  هي:

$$\frac{x}{a/h} + \frac{y}{b/k} + \frac{z}{a/\ell} = 1$$

ولما كانت هذه المعادلة من الشكل:

$$f(x,y,z) = \text{Constant}$$

$$\vec{\Delta f} = \frac{h}{a} \hat{i} + \frac{k}{b} \hat{j} + \frac{\ell}{c} \hat{k}$$

اذ ان  $\hat{i}, \hat{j}, \hat{k}$  هي وحدة المتجهات الاعتيادية عبر الاحداثيات  $x, y, z$  حسب الترتيب. وكذلك يجب ان تكون  $\vec{\Delta f}$  متجه عمودي على هذا المستوى. يعطى وحدة المتجه العمودي بوساطة:

$$\vec{n} = \frac{\vec{\Delta f}}{|\vec{\Delta f}|} = \frac{(h/a)\hat{i} + (k/b)\hat{j} + (\ell/c)\hat{k}}{\left[(h/a)^2 + (k/b)^2 + (\ell/c)^2\right]^{1/2}}$$

ومن المعادلة 1-9 نحصل على:

$$d_{hk\ell} = \frac{\vec{n} \cdot \vec{a}}{h} = \frac{1}{h} \frac{(h/a)a}{\left[(h/a)^2 + (k/b)^2 + (\ell/c)^2\right]^{1/2}}$$

أو تكتب:

$$\frac{1}{d_{hk\ell}^2} = \frac{h^2}{a^2} + \frac{k^2}{b^2} + \frac{\ell^2}{c^2}$$

1. بالنسبة للنظام ثلاثي الميل (العام) سنكتب العلاقة فقط دون اثبات:

$$\frac{1}{d_{hk\ell}^2} = \frac{\begin{vmatrix} \frac{h}{a} & \cos \gamma & \cos \beta \\ \frac{k}{b} & 1 & \cos \alpha \\ \frac{\ell}{c} & \cos \alpha & 1 \end{vmatrix} \begin{vmatrix} 1 & \frac{h}{a} & \cos \beta \\ \frac{k}{b} & \cos \lambda & \frac{k}{b} \\ \cos \beta & \frac{\ell}{c} & 1 \end{vmatrix} \begin{vmatrix} 1 & \cos \gamma & \frac{h}{a} \\ \cos \gamma & 1 & \frac{k}{b} \\ \cos \beta & \cos \alpha & \frac{\ell}{c} \end{vmatrix}}{\begin{vmatrix} 1 & \cos \gamma & \cos \beta \\ \cos \gamma & 1 & \cos \alpha \\ \cos \beta & \cos \alpha & 1 \end{vmatrix}} ..1-11$$

وهذه النتيجة التي تعرضها المعادلة 1-11 الخاصة بنظام البلورة العام يمكن تبسيطها بالنسبة للأنظمة البلورية الأخرى.

2. بالنسبة للنظام البلوري احادي الميل: نعرض في المعادلة 1-11 القيم  $a \neq b \neq c$  و  $\alpha = \gamma = 90^\circ$  ليكون لدينا:

الفصل الاول .

3. بالنسبة للنظام البلوري المعيني القائم: نعرض  $a \neq b \neq c$  و  $\alpha = \gamma = \beta = 90^\circ$  في المعادلة 1-11 أو نعرض عن  $\beta = 90^\circ$  في المعادلة 1-12 لنحصل على:

وهذه تشبه المعادلة 1-10 التي حصلنا عليها قبل ذلك.

٤. بالنسبة للنظام البلوري الرباعي: نعرض  $\alpha = \gamma = \beta = 90^\circ$  و  $a = b \neq c$  في المعادلة ١-١١ أو نضع فقط  $a = b$  في المعادلة اعلاه ونحصل على:

$$\frac{1}{d_{hk\ell}^2} = \frac{h^2 + k^2}{a^2} + \frac{\ell^2}{c^2}$$

5. وبالنسبة للنظام البلوري المكعب: نعوض  $\alpha = \gamma = \beta = 90^\circ$  و  $a = b = c$  في المعادلة 1-11 أو نعوض فقط  $a = c$ . في المعادلة 1-13 ونحصل على:

٦. وبالنسبة للنظام الثلاثي: نعرض  $\alpha = \gamma = \beta \neq 90^\circ < 120^\circ$  و  $a = b = c$  في المعادلة ١-١١ ونحصل على:

$$\frac{1}{d_{hk\ell}^2} = \frac{(h^2 + k^2 + \ell^2) \sin^2 \alpha + 2(hk + k\ell + \ell h)(\cos^2 \alpha - \cos \alpha)}{\alpha^2 (1 - 3 \cos^2 \alpha + 2 \cos^3 \alpha)}$$

7. واحبذا بالنسبة للنظام السادس نعموض  $\alpha = \beta = 90^\circ$ ,  $\gamma = 120^\circ$  و  $a = b \neq c$  في المعادلة 1-11 لنحصل على:

## الزوايا بين المستويات والاتجاهات

يمكن ان نحصل على العلاقات التي تعطينا الزاوية  $\theta$  بين مستويين  $(h_1 k_1 \ell_1)$  و  $(h_2 k_2 \ell_2)$  بالنسبة الى النظام البلوري المعين القائم من خلال:

وبالنسبة للنظام الرباعي نعرض عن  $a = b$  في المعادلة اعلاه ونحصل على:

$$\cos \theta = \frac{(h_1 h_2 + k_1 k_2) c + \ell_1 \ell_2 \frac{a^2}{c}}{\sqrt{\left[ (h_1^2 + k_1^2) c + \ell_1^2 \frac{a^2}{c} \right] \left[ (h_2^2 + k_2^2) c + \ell_2^2 \frac{a^2}{c} \right]}} \quad \dots \dots \dots \quad 1-18$$

وبالنسبة للنظام المكعب نعوض  $c = b = a$  في المعادلة 1-17 ونحصل على:

$$\cos \theta = \frac{h_1 h_2 + k_1 k_2 + \ell_1 \ell_2}{\sqrt{[(h_1^2 + k_1^2 + \ell_1^2)(h_2^2 + k_2^2 + \ell_2^2)]}} \quad \dots \dots \dots \quad 1-19$$

ان قيمة الزاوية  $\delta$  بين الاتجاهين  $[u_2v_2w_2]$  و  $[u_1v_1w_1]$  بالنسبة للنظام المعياري القائم هي:

$$\cos \delta = \frac{u_1 u_2 a^2 + v_1 v_2 b^2 + w_1 w_2 c^2}{\sqrt{[(u_1^2 a^2 + v_1^2 b^2 + w_1^2 c^2)(u_2^2 a^2 + v_2^2 b^2 + w_2^2 c^2)]}}$$

بالنسبة للنظام الرباعي:

وبالنسبة للنظام المكعب:

$$\cos \delta = \frac{u_1 u_2 + v_1 v_2 + w_1 w_2}{\sqrt{[(u_1^2 + v_1^2 + w_1^2)(u_2^2 + v_2^2 + w_2^2)]}} \quad \dots \dots \dots \quad 1-21$$

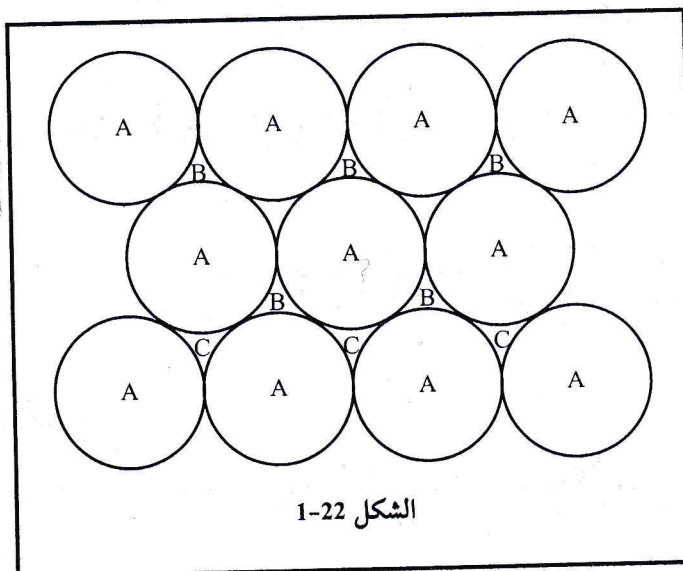
## الفصل الأول

ان الاتجاهات  $[u_1v_1w_1]$  و  $[u_2v_2w_2]$  تكون متعامدة تبادلياً في الحالات الثلاثة اعلاه عندما يكون البسط في علاقتها صفرأ. على سبيل المثال بالنسبة للنظام المكعب يكون الاتجاهين متعامدين تبادلياً اذا كانت:

$$u_1u_2 + v_1v_2 + w_1w_2 = 0$$

### 1.11 التعبئة المتماسكة Close-Packing

اذا اريد ترتيب كرات متماثلة بشعاع منتظم كي تشغل أدنى حجم فراغي فيمكن اتمام ذلك فقط بطريقتين، أولاهما يقود الى تركيب التعبئة المتماسكة المكعبة-Cubic Close-Packed (c.c.p.) او مكعب مركز الاوجه (f.c.c.) وثانيهما تقود الى تركيب تعبئة متماسكة سداسي Hexagonal Close-Packed (h.c.p.). مختلف التركيبين في طريقة ترتيب الكرات، أي يعني بطريقة تشكيل الشبكة. ويوضح الشكل 1-22 الطريقة التي يمكن لكرات متماثلة ان تعبأ بتماسك في مستوى. تقع مراكز هذه الكرات A عند زوايا مثلثات متساوية الأضلاع وكل كرة تلامس ست كرات آخريات في مستواها الخاص.



إن مثل هذه الطبقة تشكل شبكة برافز سداسية ببعدين كما يتضح ذلك في الشكل 1-14b. دعونا نقوم ببناء طبقة ثانية B على هذه الطبقة A. طبعا سنواجه صعوبة في وضع كرات الطبقة الثانية B على قمم كرات الطبقة A الا اذا كانت مراكز الطبقة الثانية B

عمودية على الفجوات الموجودة بين كرات الطبقة  $A$ . أما الطبقة الثالثة فستكون مستعدة للثبات فوق الطبقة الثانية  $B$  باحدى طريقتين: الطريقة الاولى تكون في وضع مراكز كرات الطبقة الثالثة عموديا فوق مراكز كرات الطبقة  $A$  أي تكون الطبقة الثالثة اعادة للطبقة  $A$  وهكذا نستمر بالعمل بوضع الطبقة الرابعة فوق مراكز الطبقة  $B$  وكان الطبقة الرابعة اعادة للطبقة  $B$  ونواصل هذا الترتيب الذي سيكون عبارة عن سلسلة من ...  $ABABAB$  ... وبهذا نحصل على تركيب ( $h.c.p.$ ). أما الطريقة الثانية لوضع الطبقة الثالثة والتي سنسميها  $C$  فوق الطبقة الثانية  $B$  فتتكون من خلال وضع مراكز كرات الطبقة  $C$  عموديا فوق الفجوات المتماسة والمجاورة في كلا الطبقتين  $A$  و  $B$  وهكذا نواصل وضع مراكز كرات الطبقة الرابعة عموديا فوق مراكز كرات الطبقة  $A$  وكان الطبقة الرابعة اعادة للطبقة  $A$  ويكون بهذا التواصل ترتيب السلسلة هو ...  $ABCABC$  ومنه نحصل على تركيب مكعبي متتساك  $f.c.c.$  أو  $c.c.p.$ .

تصف كلا الطريقتين في التعبئة المتتساكه أو أي نظام بلوري آخر بوساطة كميتين: عدد المحاور و نسبة التعبئة. ان عدد المحاور لنظام بلورة هو عدد المسافات المتساوية لاقرب الجiran لا ي من ذراته. وان نسبة التعبئة تعرف على انها نسبة حجم وحدة الخلية المشغول بوساطة الکرات التي فيه وتسمى احياناً عامل التعبئة الذري Atomic packing factor. من الواضح هنا انه كلما كان عدد المحاور كبيراً او كانت نسبة التعبئة كبيرة فهذا يعد مؤشر لتعبئة اكثراً تمساكاً.

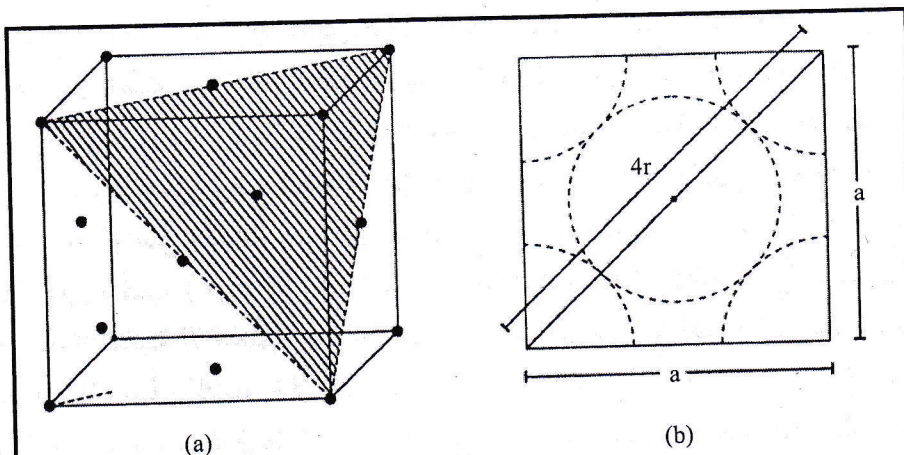
### 1.12 بعض التراكيب البلورية الانموذجية

#### Some typical crystal structures

ستناقش بعض التراكيب البلورية الاكثر شيوعاً والتي تغطي عدداً مهماً من المواد:

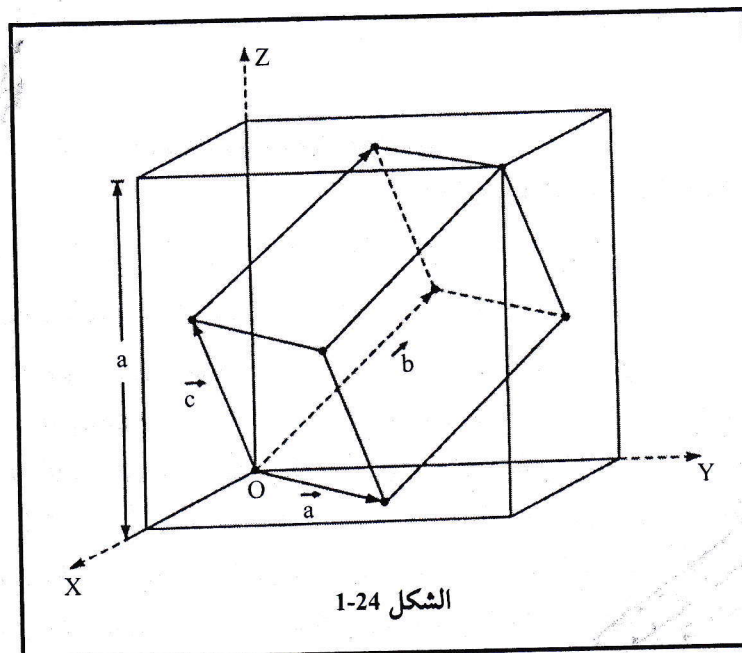
##### تركيب المكعب مرکز الاوجه f.c.c.

يتم الحصول على وحدة خلية تركيب مكعب مرکز الاوجه بوساطة رصف طبقات متتساكه التعبئة بسلسلة ...  $ABCABC$  ... والتي يوضحها الشكل 1-23. هنالك ذرات عند زوايا وحدة الخلية وعند مرکز كل وجه واذا ربطنا بين الشكل 1-23 و 1-22 نجد ان المستوى المضلع هو طبقة بتعبئة متتساكه ومتمثل المستوى (111) العمودي على قطر جسم المكعب ومن التمايز يمكن ايجاد طبقة الذرات المعبأة بمتتساك من كل المستويات ذات الشكل {111}. وفي هذا التركيب يكون محيط كل ذرة متماثل شكلاً وتوجهاً.



الشكل 1-23

ويوضح الشكل 1-24 مواضع الذرات التي تشكل شبكة برافز ووحدة الخلية الثلاثية الاولية rhombohedral primitive unit cell لهذا التركيب. اشتقت وحدة الخلية الاولية من الخلية التقليدية بوساطة متجهات الانتقال الاولية  $\bar{a}, \bar{b}, \bar{c}$  التي توصل نقطة الاصل مع مراكز الوجه الثلاثة.



الشكل 1-24

$$\vec{a} = \frac{1}{2}a(\hat{i} + \hat{j}), \quad \vec{b} = \frac{1}{2}a(\hat{j} + \hat{k}), \quad \vec{c} = \frac{1}{2}a(\hat{k} + \hat{i})$$

وتمثل  $a$  ضلع المكعب.

ولحساب حجم وحدة الخلية الأولية:

$$V = |\vec{a} \cdot \vec{b} \times \vec{c}|$$

$$V = \frac{a}{2}(\hat{i} + \hat{j}) \cdot \frac{a}{2}(\hat{i} + \hat{j}) \times \frac{a}{2}(\hat{i} + \hat{j})$$

$$V = \frac{a^3}{4} \text{ وهذا هو ربع الحجم التقليدي.}$$

من الواضح أن كل ذرة في تركيب (f.c.c.) لها 12 أقرب جار، ست يحيطون بها في الطبقة نفسها وثلاث في الطبقة التي فوقها وثلاث في الطبقة التي تحتها. وبذلك يكون عدد المجاور 12. ولكي نحسب نسبة التعبئة تحتاج الحجم الكلي للكرات في وحدة الخلية وحجم وحدة الخلية. إذا قمنا بتوضيح الكرات التي يعرضها الشكل a-23 بالشكل الذي تلامس بعضها الآخر عبر الوجه القطري كما في الشكل b-23 وان  $r$  هو نصف قطر كل كرة فسوف يكون الطول القطري للوجه  $D = 4r$ ، ولكن هذا الطول القطري للوجه يكون بدلالة ضلع المكعب  $a$  معطى بوساطة  $\sqrt{2a^2}$  وبذلك:

$$16r^2 = D^2 = 2a^2 \quad \text{أو} \quad 4r = D = \sqrt{2a^2}$$

ثم:

$$\frac{r}{a} = \frac{1}{2\sqrt{2}}$$

ان عدد الكرات في وحدة الخلية لتركيب (f.c.c.) هو:

$$8 \times \frac{1}{8} + 6 \times \frac{1}{2} = 4$$

وهذه تعطينا الحجم المشغول بواسطة الكرات:

$$V_t = 4 \left( \frac{4}{3}\pi r^3 \right)$$

بينما حجم وحدة الخلية هو  $V = a^3$ .

## الفصل الاول

اذن نسبة التعبئة  $F$  ستكون:

$$F = \frac{V_t}{V} = \frac{16\pi}{3} \left( \frac{r}{a} \right)^3$$

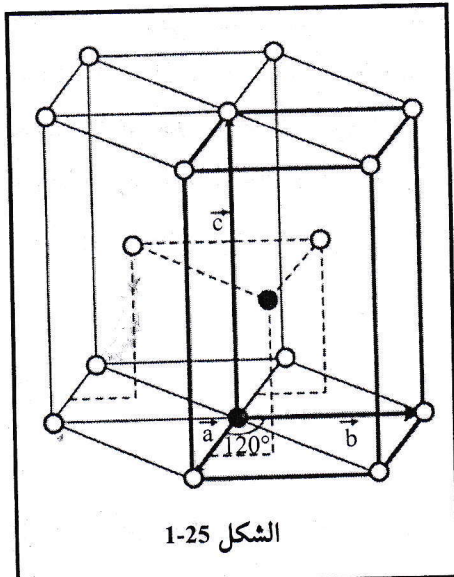
و اذا عوضنا قيمة  $\frac{r}{a}$  من اعلاه يكون لدينا نسبة التعبئة هي:

$$F = \frac{\pi}{3\sqrt{2}} = 0.7406$$

وان مسافة اقرب جار:

$$d = \frac{D}{2} = \frac{a}{\sqrt{2}}$$

**تركيب التعبئة المتماسك السداسي (h.c.p)**



يعطينا القيام برصيف طبقات تعبئة متماسكة من الكرات على شكل سلسلة  $ABABAB\dots$  تركيب سداسي متماسك التعبئة h.c.p كالذى في الشكل 1-25، فيه لا تشكل المواقع الذرية شبيكة برافز. ان وحدة الخلية الموضحة في الشكل هي وحدة خلية أولية ذات أساس مكون من ذرتين متماثلتين عند  $\frac{2}{3}, \frac{1}{3}, \frac{1}{2}$  موضعه في الشكل 1-25 على صورة كرتين بلون اسود غامق. ومتلك الخلية الاولية الموضحة بخطوط سوداء غامقة في الشكل 1-25  $a=b$  بزاوية تضمنها

مقدارها  $120^\circ$ . المحور  $c$  عمودي على المستوى المكون بوساطة  $a$  و  $b$ . ولكي نحسب نسبة التعبئة في هذه الحالة نحتاج معرفة قيمة  $c/a$  ولكي نجد هذه النسبة نأخذ كرة مثل  $B$  تستقر بين ثلاث كرات متماسكة التعبئة هي  $A$  و  $A'$  و  $A''$  كما هو في الشكل 1-26a. ويتبين من الشكل ان مراكز هذه الكرات الاربعة تقع عند زوايا رباعي الاسطح منتظم كما في الشكل 1-26b. اذا كان  $BQ$  عمودياً على المستوى  $AA'A''$  فانه سيعطي الفسحة  $h$  بين الطبقات المتابعة للتركيب السداسي متماسك التعبئة. من الشكل الهندسي يتضح ان  $Q$

يجب ان تقع على  $AP$  بالشكل الذي يكون فيه  $QP = \frac{1}{3}AP$ , اذ ان  $P$  هو نقطة وسط الصلع  $A'A''$ . وكذلك:

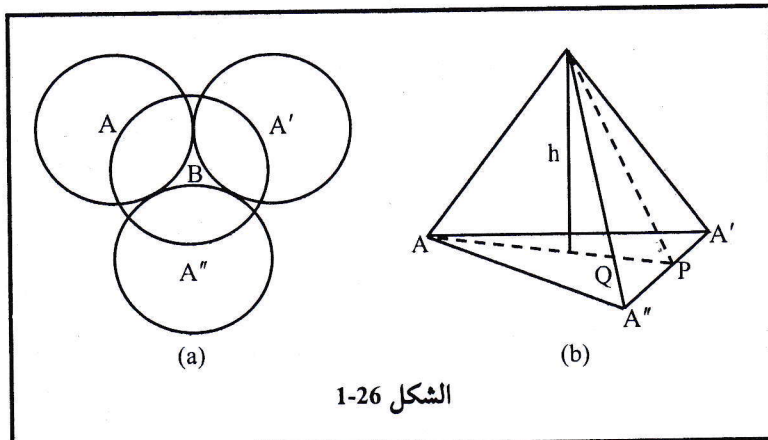
$$QP = \frac{1}{3}AP = \frac{a}{2\sqrt{3}} \text{ و } AP = BP = A'A'' \sin 60^\circ = a \sin 60^\circ = a\sqrt{3}/2$$

$$h^2 = (BP)^2 - (QP)^2 = \frac{3}{4}a^2 - \frac{1}{12}a^2 = \frac{2}{3}a^2$$

$$h = a\sqrt{\frac{2}{3}}$$

ان المسافة الشاقولية بين طبقات التعبئة المتماسكة في وحدة خلية سداسية هي  $c$  وهذه تساوي  $2h$ .

$$\frac{c}{a} = \frac{2h}{a} = \frac{2}{a} \cdot a\sqrt{\frac{2}{3}} = 2\sqrt{\frac{2}{3}} = 1.633$$



ومرة أخرى اذا رسمت الكرات التي في الشكل 1-25 على المقاييس نفسه كما بالنسبة للمسافات الذرية الداخلية فان الكرات التي عند نهايات الصلع  $\bar{a}$  ستلامس الواحدة الأخرى عند وسط  $\bar{a}$ . بذلك يكون  $r = a/s$ , أو  $r = a/2$ . والآن هنالك كرتان واحدة عند موضع 000 والأخرى عند موضع  $\frac{2}{3}\frac{1}{3}\frac{1}{2}$  تصاحب كل من نقاط الشبكة الثمانية في

## الفصل الأول

وحدة الخلية الأولية. وبذلك يكون عدد الذرات في وحدة الخلية هو  $2 = 8 \times \frac{1}{8}$  ومن هنا يكون الحجم الذي تشغله هذه الكرات هو:

$$r = a/2 \text{ لان } V_t = 2 \left( \frac{4}{3} \pi r^3 \right) = \frac{1}{3} \pi a^3$$

وان الحجم الكلي لوحدة خلية التركيب السداسي هو:

$$V = \frac{\sqrt{3}}{2} a^2 c$$

ومن هنا تكون نسبة الرص (أو عامل الرص الذري) هو:

$$F = \frac{V_t}{V} = \frac{2\pi}{3\sqrt{3}} \left( \frac{a}{c} \right)$$

ولما كان  $\frac{a}{c} = \frac{\sqrt{3}}{2\sqrt{2}}$  فان عامل الرص الذري يكون:

$$F = \frac{\pi}{3\sqrt{2}} = 0.7406$$

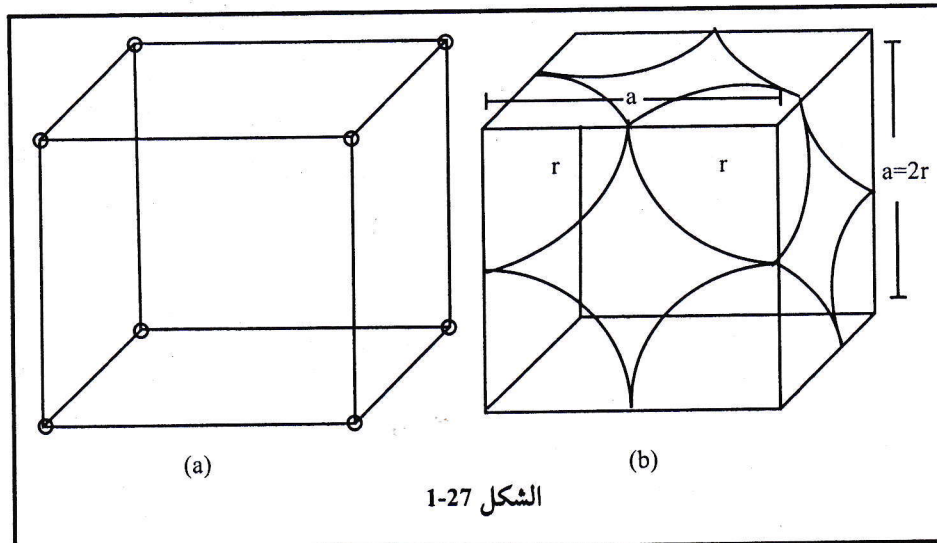
عدد محاور تركيب  $h.c.p$  نفس عدد محاور تركيب  $f.c.c$ . وهي 12 محور.

ولما كانت الذرات ليست على شكل كرات صلبة فغالباً ما تختلف نسبة محاور وحدة الخلية  $c/a$  قليلاً عن القيمة المثالية (1.633). فيمتلك الزنك عانيا  $c/a = 1.86$  والمعنيسيوم  $c/a = 1.623$ .

تركيب مكعب بسيط ( $s.c.$ )

يعرض الشكل a-27 شكل وحدة خلية تركيب المكعب البسيط وهي تمتلك فقط ذرات عند الزوايا الثمانية للمكعب وبذلك يكون عدد الذرات او النقاط لكل وحدة خلية

هي  $I = 1 = \frac{1}{8} \times 8$  وبذلك تكون وحدة خلية المكعب البسيط خلية أولية.



الشكل 1-27

عدد أقرب الجيران هو 6، وبذلك يكون عدد محاور هذا التركيب هو 6. ولكي نعرف العلاقة بين نصف قطر الذرة وثابت الشبكة  $a$  لابد ان نتعامل مع رسم الذرات بصورة تجعلها تلامس بعضها الاخر عبر أضلاع المكعب كما هو معروض في الشكل b 1-27. ومن هذا الشكل سنجد ان  $2r = a$ . وبذلك سيكون عامل التعبئة الذري هو:

$$F = \frac{4/3(\pi r^3)}{a^3} = \frac{\pi}{6} = 0.524$$

توضح نسبة التعبئة للمكعب البسيط انه تركيب غير متماسك وبذلك لا يكون التركيب مرغوبا بواسطة العناصر الطبيعية. لقد وجد ان عنصر البولونيوم Polonium فقط يظهر تركيب مكعب بسيط عند درجة حرارة تحت  $75^\circ C$ . ولكن هذا التركيب مفيد جدا في دراسة التراكيب المعقّدة الاخرى. على سبيل المثال يمكن اعتبار تركيب المكعب مركز الجسم على انه يحتوي تركيبين متماثلين للمكعب البسيط احدهما يتكون من ذرات الزوايا والآخر من ذرات المركز، وبالطريقة نفسها يمكن اعتبار تركيب f.c.c. يحتوي على اربع تراكيب متماثلة متداخلة من تركيب المكعب البسيط s.c.

مسافة اقرب جار  $d = a$ .

الفصل الأول

التجهات الأولية للمكعب البسيط هي:

$$\vec{a} = a\hat{i} \quad \vec{b} = b\hat{j} \quad \vec{c} = c\hat{k}$$

وبذلك يكون حجم وحدة الخلية للمكعب البسيط:

$$V = \vec{a} \cdot \vec{b} \times \vec{c} \\ = a\hat{i} \cdot (b\hat{j} \times c\hat{k})$$

ولما كانت  $a = b = c$  في المكعب

$$V = a\hat{i} \cdot (\hat{a}\hat{j} \times \hat{a}\hat{k})$$

$V = a\hat{i} \cdot a^2 \hat{i}$  وبذلك يكون حجم وحدة خلية المكعب البسيط

تركيب المكعب مركز الجسم (b.c.c.)

يعرض الشكل 28-1 وحدة خلية تركيب المكعب مركز الجسم (الخطوط المتصلة. هذه الخلية ذرات ثمانية عند اركان المكعب وواحدة عند مركزه وبذلك تمتلك وحدة الخلية ذرتين  $2 = 1 + 1 \times \frac{1}{8} \times 8$  ومن هنا فهي ليست خلية أولية. ان وحدة الخلية الأولية

للمكعب مركز الوجه تكون تركيب ثلاثي rhombohedron طول ضلعه  $\frac{\sqrt{3}}{2}a$  والزاوية بين اضلاعه المجاورة هي  $190^\circ$ . وتشتق الخلية الأولية من الخلية التقليدية بوساطة التجهات الانتقالية الأولية  $\vec{a}, \vec{b}, \vec{c}$  التي تربط نقطة الاصل مع ذرات مركبات المكعبات الثلاثة المجاورة. ان متجهات الانتقال الأولية للخلية الأولية بدلالة طول ضلع المكعب  $a$  هي:

$$\vec{a} = \frac{a}{2}(\hat{i} + \hat{j} - \hat{k}) \quad \vec{b} = \frac{a}{2}(-\hat{i} + \hat{j} + \hat{k}) \quad \vec{c} = \frac{a}{2}(\hat{i} - \hat{j} - \hat{k})$$

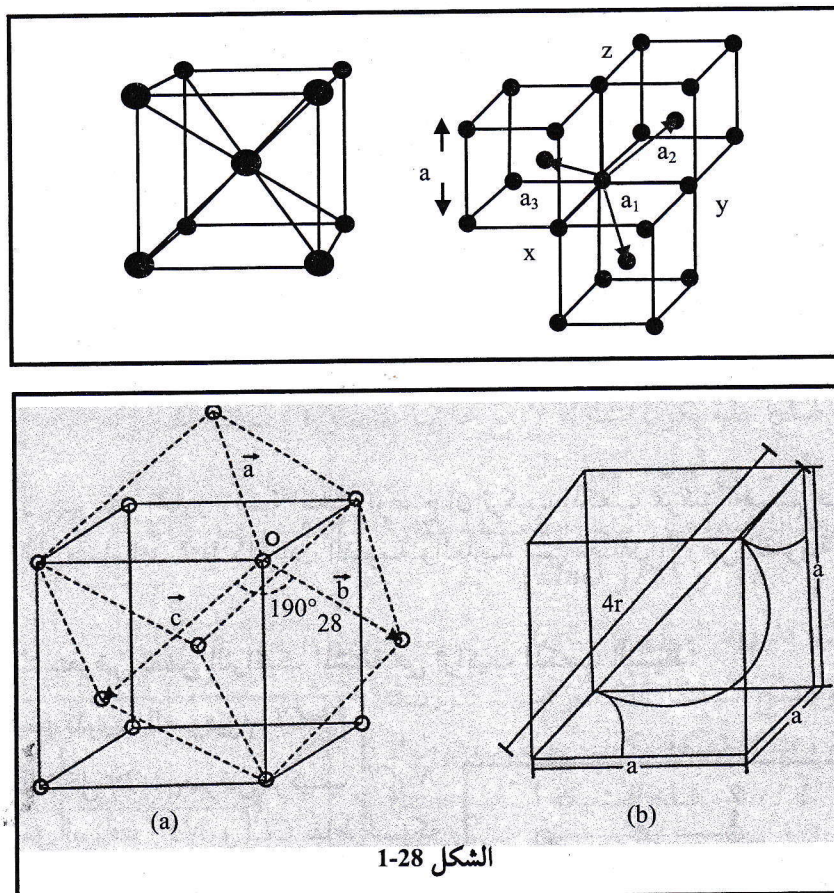
ومنها نجد حجم وحدة الخلية الأولية:

$$V = |\vec{a} \cdot \vec{b} \times \vec{c}|$$

$$V = \frac{a}{2}(\hat{i} + \hat{j} - \hat{k}) \cdot \frac{a}{2}(-\hat{i} + \hat{j} + \hat{k}) \times \frac{a}{2}(\hat{i} - \hat{j} - \hat{k})$$

$$V = \frac{a^3}{2}$$

في هذا التركيب يكون المستوى الأكثر كثافة بالذرات هو المستوى (110).



ان عدد اقرب الجيران في هذا التركيب هو 8 وبذلك يكون عدد المحاور فيه 8 ايضا. يمكن حساب نسبة التعبئة بسهولة اذا رسمنا الكرة ذات النصف قطر  $r$  في تركيب وحدة خلية المكعب مركز الاوجه التقليدية بقياس المسافات البنية بين الذرات فسنجد ان كرة المركز تلامس الكرة التي عند الاركان والشكل 1-28b يوضح ذلك. من هذا الشكل سنعرف العلاقة بين  $r$  وطول ضلع المكعب  $a$ :

$$r = \frac{\sqrt{3}}{4}a, \text{ او } (4r)^2 = D^2 = a^2 + (\sqrt{2}a)^2$$

المكعب وان  $D/2 = d$  تمثل مسافة اقرب جار.

## الفصل الاول

مسافة اقرب جار هي:

$$d = \frac{\sqrt{3}}{2} a$$

ومن هنا يكون الحجم الكلي المشغول بوساطة كرتبي وحدة الخلية هو:

$$V_t = 2 \left( \frac{4}{3} \pi r^3 \right) = \frac{\sqrt{3}}{8} \pi a^3$$

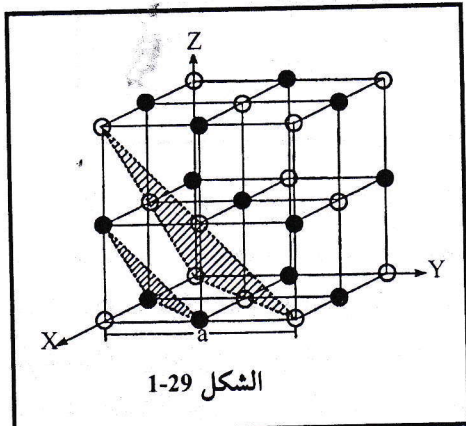
ونعرف ان حجم وحدة الخلية هو  $a^3 = V$  وبذلك نسبة التعبئة ستكون:

$$F = \frac{V_t}{V} = \frac{\sqrt{3}}{8} \pi = 0.6802$$

ان قيم عدد المحاور ونسبة التعبئة توضح ان تركيب المكعب مركز الجسم هو ايضا تركيب غير متماسك. تمتلك المعادن القلوية والعديد من معادن الارض القلوية تركيب *bcc*.

والان سنستعرض بعض التراكيب المشتقة من تراكيب المكعب البسيط:

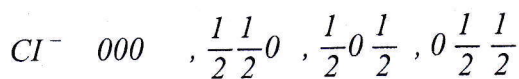
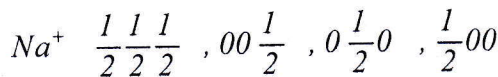
### 1. تركيب كلوريد الصوديوم $NaCl$



الشكل 1-29 يعرض تركيب  $NaCl$  وفيه تشغل أيونات  $Na^+$  و  $Cl^-$  نقاط شبيكة المكعب البسيط بالتعاقب. لكل أيون ست اقرب جiran من النوع الآخر (عدد المحاور 6) وهناك 12 اقرب جار لاحق من الايون نفسه. تشغل ايونات النوع الواحد نقاط شبيكة المكعب مركز الوجه. ان شبائق  $Na^+$  و  $Cl^-$  مزاحة عن بعضها البعض الاخر بوساطة نصف وحدة باتجاه  $a$ ، [100]. ويمكننا ان

نرى كذلك من الشكل ان المستويات المتتابعة من النوع {111} تكون مشغولة بالكامل باليونات  $Na^+$  و  $Cl^-$ ، ويمكن وصف شببيكة برافز لبلورة كلوريد الصوديوم بانها شببيكة مكعبة مركز الوجه طول ضلعها  $5.63 \text{ \AA}$ . تكون قاعدة هذه الشببيكة من ايون صوديوم

واحد وايون كلور واحد تفصل بينهما نصف مسافة الطول القطرى لجسم وحدة مكعب تمتلك اربع وحدات من  $NaCl$  موزعه فيها ايونات الصوديوم والكلور على الموضع كما يأتي:

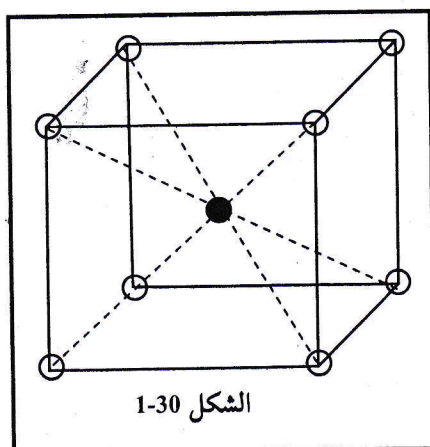


تحتل ايونات الصوديوم اذن رؤوس الخلية المكعبية الثمانية ومراكز اوجهها الستة بينما تحتل ايونات الكلور مركز الخلية ومنتصفات اضلاعها الاثني عشر حيث ان كل ايون يقع في منتصف ضلع خلية يكون مشاركا لاربع خلايا متجاورة وبذلك تكون حصته في الخلية الواحدة بقدر ربع ايون.

وهناك عدد من البلورات يشابه بلورة  $NaCl$  ومنها  $KCl$  و  $AgBr$  و  $KBr$  و  $MnO$  و  $PbS$  و  $MgO$  و  $LiH$ .

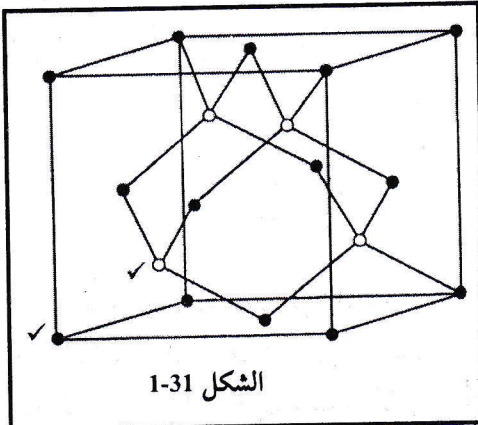
## 2. تركيب كلوريدي السيليزيوم

يوضح الشكل 1-30 تركيب كلوريد السيليزيوم ويمثل شبيكة مكعب بسيط s.c. طول ضلعها  $4.11A^\circ$  وهذه الشبيكة أساس  $Cl^-$  تتكون من ايون  $Cs^+$  عند  $000$  و ايون  $Cl^-$  واحد عند الموضع  $\frac{1}{2} \frac{1}{2} \frac{1}{2}$  تفصل بينهما مسافة نصف الطول القطرى لوحدة مكعب. وتحتل ايونات السيليزيوم جميع مواقع الشبيكة الموجودة في رؤوس الخلية المكعبة ولكن كما تعلم ان جميع هذه الايونات الثمانية تعادل ايونا واحدا وبذلك



يكون هنالك فقط ايونان في الخلية الواحدة احدهما  $Cs^+$  والآخر  $Cl^-$ , أي ان هنالك جزيئه واحدة فقط من  $CsCl$  لكل وحدة خلية.

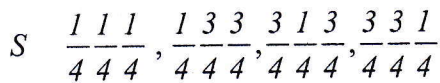
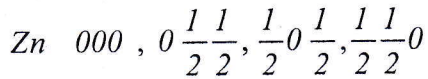
### 3. تركيب الماس



يعد تركيب الماس مثالاً لجزئية تساهمية منفردة عملاقة ويوضح الشكل 1-31 ان كل ذرة متربطة رباعيا الى اربع اقرب جيران تقع عند نقاط زوايا الشكل الرباعي وبالرغم من أن جميع الذرات لها المحيط نفسه ولكن هذا المحيط يكون موجها بشكل مختلف بالنسبة للذرات التي توضّحها دوائر في الشكل 1-31 عن تلك الممثلة بدوائر غامقة السواد. لذلك لا توجد هنالك طريقة لاختيار خلية أولية ذات قاعدة مكونة من ذرة واحدة فقط. وكما يتضح من الشكل ان الشبكة الفضائية هي شبكة مكعب مركز الاوجه تتكون قاعدتها من ذرتين متماثلتين واحدة عند الموضع 000 والاخري عند الموضع  $\frac{1}{4}\frac{1}{4}\frac{1}{4}$  تلتّحق بكل نقطة شبكة. تمتلك كل ذرة اربع اقرب جiran و 12 جار لاحت. هنالك 8 ذرات في المكعب. يمكن اعتبار تركيب الماس مكوناً من شبكتي f.c.c متقطعتين: تمتلك احدهما نقطة الاصل 000 (موضحة بكرات سوداء في الشكل) والاخري (الممثلة بكرات دائيرية) تمتلك نقطة الاصل عند  $\frac{1}{4}\frac{1}{4}\frac{1}{4}$ . ان الشبكة مع الذرة الممثلة بكرات على شكل دائرة قد ازاحت بمقدار  $\frac{1}{4}$  من وحدة خلية باتجاه [111]. وعلى الرغم من صلابة الماس ودرجة انصهاره العالية فان نسبة التعبئة له  $F = 0.3401$  وهو يمثل تقريباً نصف نسبة التعبئة لشبكتي f.c.c. يتكون اساسها من ذرة واحدة فقط. ان طول ضلع مكعب بلورة الماس هو  $3.56\text{ \AA}$ . ويتبلور الكاريون والسليكون والجيرمانيوم بطريقة تبلور الماس نفسها.

### 4. تركيب كبريتيد الزنك ZnS

هذا التركيب مشابه لتركيب الماس الا ان الاختلاف الوحيد يكون هو ان الاساس في هذا التركيب يتكون من ذرتين مختلفتين هما ذرة Zn وذرة الكبريت S بدلاً من ذرتين كاريون متشابهتين كما في الماس. تتحل الذرات المختلفة الواقع التالية:



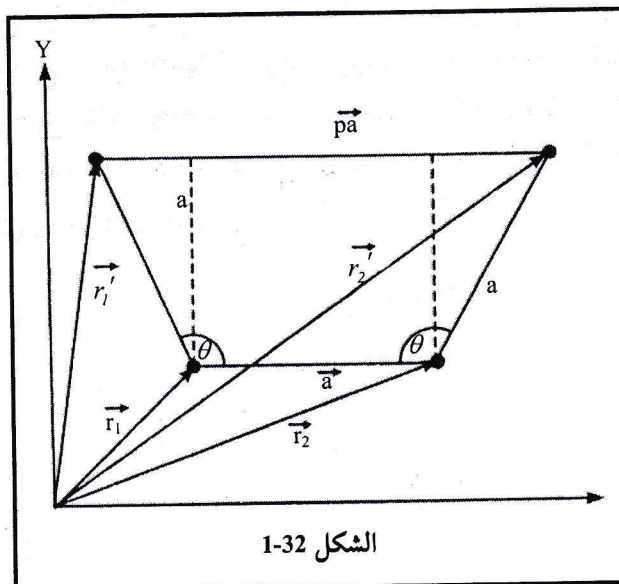
وهذا معناه وجود 4 جزيئات  $ZnS$  في كل خلية وحدة اعمادية وان كل ذرة  $Zn$  تكون محاطة بأربع ذرات  $S$  وعلى ابعاد متساوية بمقدار ربع الطول القطرى للخلية الاعمادية وتكون اربع روابط اغلبها من نوع الروابط التساهمية وجزء قليل من الروابط الايونية. ان طول ضلع خلية وحدة كبريتيد الزنك هو  $5.41A^{\circ}$  وتكون نسبة التعبئة له صغيرة. ان حجم وحدة خلية  $ZnS$  أكبر من حجم وحدة خلية الماس.

ومن التراكيب المشابه لتركيب  $ZnS$  هي تراكيب



### تمارين عامة محلولة

1. أشتق العلاقة العامة لزاوية الدوران مبيناً درجات التمايل المسموحة وغير المسموحة.  
الحل:



لنأخذ الأحداثي  $x$  عبر متجه الانتقال الأولي لشبيكة البلورة  $\bar{a}$  ثم من الشكل 1-32 سنجد أن المسافة بين اقرب جارين على شعاع عبر الأحداثي  $x$  تعطى ببساطة:

$$|\vec{r}_1 - \vec{r}_2| = a$$

لندع محور تماثل ذي  $n$ -ثانية يمر خلال رأس المتجه  $\bar{r}_1$  ويكون عمودياً على المستوي  $XY$  وليمر محور مشابه كذلك خلال رأس المتجه  $\bar{r}_2$ . ان تدويراً للمتجه  $\bar{a}$  خلال زاوية  $\theta = 2\pi/n$  باتجاه معاكس لاتجاه عقرب الساعة سيتتج متجه شبيكة جديد  $\bar{r}'_1$  وان تدويراً للمتجه  $\bar{a}$  خلال زاوية  $\theta = 2\pi/n$  باتجاه عقرب الساعة سيعطى متجه شبيكة جديد  $\bar{r}'_2$  ومن هنا ستعطينا رؤوس  $\bar{r}_1$  و  $\bar{r}'_2$  نقاط شبيكة جديدة. ولأنه لدينا شعاع دوري من النقاط فيجب أن تكون المسافة  $|\bar{r}'_1 - \bar{r}'_2|$  متجه انتقالى، وبذلك ستكون هذه المسافة تساوى:

$|\vec{r}_1' - \vec{r}_2'| = pa$  ، اذا ان  $p$  أي عدد صحيح.

من الشكل الهندسي يمكن ان نكتب هذه المسافة تساوي:

$$pa = a + 2a \sin(\theta - \pi/2) = a(1 - 2 \cos \theta)$$

$$\cos \theta = \frac{1-p}{2} \leq 1$$

ولما كان  $-1 \leq \cos \theta \leq 1$  ستكون  $-1 \leq p \leq 3$  أي ان  $p$  لكي يحقق المعادلة يجب ان يكون مساويا الى  $-1, 0, 1, 3$  فقط

ومن خلال هذا ستمكن من معرفة مايلي:

| رمز الثنوية | اسم الثنوية | $n = 2\pi/\theta$ | $\theta = 2\pi/n$ | $\cos \theta$ | $p$  |
|-------------|-------------|-------------------|-------------------|---------------|------|
| ●           | monad       | 1-fold            | ثانية واحدة       | 0, $2\pi$     | 1    |
| ◆           | سداسي       | 6-fold            | سداسي - الثنوية   | $\pi/3$       | 2    |
| ◆           | رباعي       | 4-fold            | رباعي - الثنوية   | $\pi/2$       | 0    |
| ▲           | ثلاثي       | 3-fold            | ثلاثي - الثنوية   | $2\pi/3$      | -1/2 |
| ◆           | ثنائي       | 2-fold            | ثنائي - الثنوية   | $\pi$         | 3    |

والنتائج اعلاه تبيّن بوضوح عدم وجود حل ممكن للالمعادلة  $\cos \theta = \frac{1-p}{2} \leq 1$  اذا كان  $n=5$  أو 7 أو 8 أو أكثر. ومن هنا نستنتج ان البلورة تمتلك تماثل دوراني من 1 و 2 و 3 و 4 و 6 - ثنوية فقط.

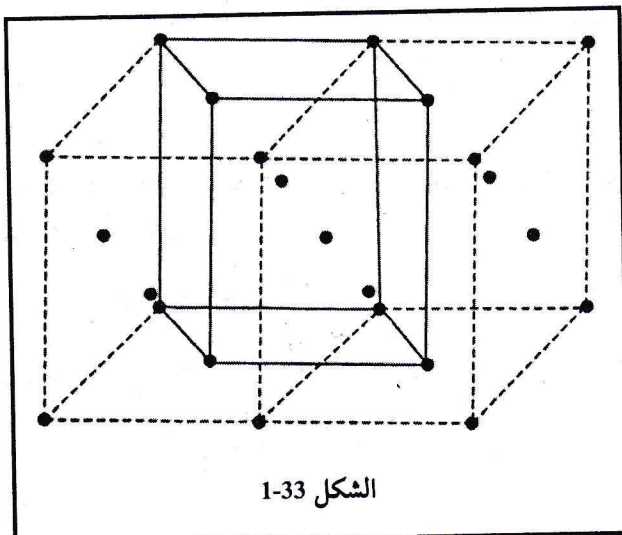
2. اثبت ان الشبكة الرباعية مرکزة الاوجه ليست من شبائك برافز

الحل:

تكون الشبكة ليست شبكة برافزية عندما لا تتوارد بشكل مستقل، أي لا يمكن التعبير عنها بأي من شبائك برافز الاربعة عشر. يمكننا ان ثبت ذلك عندما نرسم وحدتي خلية للشبكة المعطاة كما موضح في الشكل 33-1 بالخطوط المتقطعة والآن نرسم وحدة خلية رباعية جديدة من نقاط شبكة تلك الخلتين كما يتضح في الشكل نفسه وينطوي على متصلة. تمتلك هذه الخلية الجديدة نصف حجم وحدة الخلية الاصلية وتكون شبكة برافزية من النوع الرباعي الاولى. ونجده الان ان جميع نقاط الشبكة المعطاة يمكن المرور

الفصل الأول

بها بوساطة التكرار الدوري المنتظم لوحدة الخلية الجديدة. وبذلك فان الشبكة الرباعية مركزة الاوجه ليست شبكة برافزية وليس لها وجود.



الشكل 1-33

3. بلورة من البوليمر ذات جزيئه واحدة لكل نقطة شبكة تمتلك متغيرات الشبكة الاولية التالية:

$$\bar{c} = 2.5(\hat{i} + \hat{j} + \hat{k}) \quad \text{و} \quad \bar{b} = 5\hat{j} \quad \text{و} \quad \bar{a} = 5\hat{i}$$

اذ ان  $\hat{i}, \hat{j}, \hat{k}$  وحدة متوجه بالاتجاهات  $x, y, z$  على الترتيب لنظام احداثيات مستطيل. ما هو نوع شبكة برافز لهذه البلورة؟ احسب حجم وحدة الخلية التقليدية ووحدة الخلية الاولية. ما هي معاملات ميلر لمجموعة المستويات الاكثر كثافة بالجزيئات؟

الحل:

يمكن ان نكتب:

$$\bar{c} = \frac{1}{2}(5\hat{i} + 5\hat{j} + 5\hat{k}) = \frac{1}{2}(\bar{a} + \bar{b} + \bar{c}')$$

اذ ان  $\bar{c}' = 5\hat{k}$ . وهذا يبين ان  $\bar{c}$  تعطي موضع نقطة مركز الجسم في وحدة الخلية تركيب المكعب مركز الجسم المعرفة بوساطة المتغيرات  $\bar{c}, \bar{a}, \bar{b}$ . وبذلك تؤشر شبكة برافز المعطاة بأنها مكعب مركز الجسم.

وان حجم وحدة الخلية التقليدية هو:

$$V = a^3 = 5^3 = 125 A^3$$

ولأن الخلية التقليدية هي مكعب مركز الجسم فهي تمتلك جزيئتان لكل وحدة خلية بينما الخلية الأولية تمتلك جزيئه واحدة فقط ومن هنا سيكون حجم الخلية الأولية نصف حجم الخلية التقليدية، أي  $62.5 A^3$ .

- ان أكثر المستويات كثافة بالجزيئات في مكعب مركز الجسم هو المستوى {110}.  
4. اثبت انه في حالة بلورة مكعبه ان الاتجاه  $[hk\ell]$  يكون عمودياً على المستوى  $(hk\ell)$  بمعاملات ميل نفسها.

الحل:

في البلورة المكعبية يعطى المستوى  $(hk\ell)$  الاقرب الى نقطة الاصل العلاقة:

$$hx + ky + \ell z = 0$$

وأي متجه عشوائي في هذا المستوى هو:

$$[x, y, -(hx + ky) / \ell]$$

ولأن تكون الزاوية  $\delta$  بين هذا المتجه العشوائي والاتجاه  $[hk\ell]$  الزاوية نفسها بين المستوى  $(hk\ell)$  والاتجاه  $[hk\ell]$ . بذلك باستعمال العلاقة

$$\cos \delta = \frac{u_1 u_2 + v_1 v_2 + w_1 w_2}{\sqrt{(u_1^2 + v_1^2 + w_1^2)(u_2^2 + v_2^2 + w_2^2)}}$$

يمكن ان نكتبه:

$$\cos \delta = \frac{hx + ky - \ell(hx + ky) / \ell}{\sqrt{h^2 + k^2 + \ell^2} \sqrt{x^2 + y^2 + (hx + ky)^2 / \ell^2}} = 0$$

اذن  $\delta = 90^\circ$

أو نقول ان الاتجاه  $[hk\ell]$  عمودي على المستوى  $(hk\ell)$ .

الفصل الأول

5. اعط اتجاهات متجهات الانتقال الاولية  $\bar{a}, \bar{b}, \bar{c}$  لوحدة خلية ثلاثة الابعاد يمكن رسمها في تراكيب المكعب مركز الجسم والوجه، وكذلك احسب الزاوية  $\delta$  بين اي ضلعين في كل حالة.

الحل:

من الشكل 1-24 يمكن لنا أن نكتب اتجاهات  $\bar{a}, \bar{b}, \bar{c}$  في تركيب المكعب مركز الوجه:  $[101]$  و  $[011]$  و  $[110]$

تعطى الزاوية بين الاتجاهين  $\bar{a}$  و  $\bar{b}$  بالعلاقة:

$$\cos \delta = \frac{u_1 u_2 + v_1 v_2 + w_1 w_2}{\sqrt{(u_1^2 + v_1^2 + w_1^2)(u_2^2 + v_2^2 + w_2^2)}}$$

وبذلك:

$$\cos \delta = \frac{1 \times 0 + 1 \times 1 + 0 \times 1}{\sqrt{(1+1+0)(0+1+1)}} = \frac{1}{2}$$

اذن  $\delta = 60^\circ$

وبالطريقة نفسها من الشكل 1-28 تكون اتجاهات  $\bar{c}, \bar{a}, \bar{b}$  في مكعب مركز الجسم هي:

$[1\bar{1}\bar{1}]$  و  $[\bar{1}11]$  و  $[11\bar{1}]$

$$\cos \delta = \frac{1 \times (-1) + 1 \times 1 + (-1) \times 1}{\sqrt{(1+1+1)(1+1+1)}} = -\frac{1}{3}$$

اذن:

$\delta = 109^\circ 27'$  (من جداول المثلثات).

6. عند تسخين الحديد يتعرض للانتقال من تركيب مكعب مركز الجسم الى تركيب مكعب مركز الوجه عند درجة حرارة  $K = 1180$ . احسب نسبة كثافة الحديد تحت وفوق درجة حرارة الانتقال هذه.

الحل:

نعرف ان نسبة التعبئة  $F$  تعد مقياس لكتافة البلورة  $\rho$ .

نعرف ان نسبة التبعية للمكعب مركز الجسم هي  $F_{bcc} = \frac{\sqrt{3}}{8}a$  وانها بالنسبة

$$\text{للمكعب مركز الوجه هو: } F_{f.c.c.} = \frac{\pi}{3\sqrt{2}}$$

وبذلك:

$$\frac{\rho_{bcc}}{\rho_{fcc}} = \frac{F_{bcc}}{F_{fcc}} = \frac{3\sqrt{6}}{8} = 0.92$$

7. طول ضلع مكعب بلورة الماس هو  $3.56 A^\circ$ . ما هي المسافة بين اقرب الجيران وما هو عدد الذرات لوحدة الحجم؟

الحل:

بعد تركيب الماس مركباً من شبكي مكعب مركز الوجه. شبكة  $fcc$  التي نقطة الاصل لها  $\frac{1}{4}\frac{1}{4}\frac{1}{4}$  تزاح عن تلك التي نقطة الاصل لها  $000$  بقدر  $\frac{1}{4}$  وحدة الخلية باتجاه

$[111]$ . المسافة بين ذرة  $000$  و تلك  $\frac{1}{4}\frac{1}{4}\frac{1}{4}$  هي الاقصر والتي تعطى:

$$\ell = \frac{1}{4} \times D \quad \text{اذا ان } D \text{ يمثل الطول القطرى لجسم الخلية المكعبة.}$$

$$\ell = \frac{1}{4} (\sqrt{3}a) = \frac{1}{4} \times 1.732 \times 3.56 A^\circ = 1.541 A^\circ$$

عدد الذرات لوحدة الحجم في شبكة مكعب مركز الوجه هي:

$$\frac{4}{a^3} = \frac{4}{3.56^3} A^{\circ -3} = 0.08866 A^{\circ -3} = 0.8866 \times 10^{23} cm^{-3} \quad \text{عدد الذرات لوحدة الحجم.}$$

ولما كان تركيب الماس له شبكي  $fcc$  متقطعين فيكون عدد الذرات لوحدة الحجم للناس هو:

$$2 \times 0.8866 \times 10^{23} = 1.7732 \times 10^{23} / cm^3$$

### أسئلة وتمارين عامة

1. وضح فيزيائيا سبب عدم امتلاك البلورة الحقيقة محور تماثل دوراني خماسي - الثنائي.
2. اذكر الانواع المختلفة لعناصر التماثل التي يمتلكها الصلب المبلور.
3. ارسم المخططات التي توضح نظام مكعب يمتلك مركز تماثل ، ثلاث محاور رباعية، اربع محاور ثلاثة، ست محاور ثنائية، ثلاث مستويات مستقيمة وست مستويات قطرية للتماثل، أي 23 عنصر تماثل بلوري.
4. وضح ما هو المقصود بعناصر التماثل في البلورة. وضح عناصر التماثل المختلفة التي تظهرها البلورة المكعبة. وضح معنى محور دوران  $n$  - ثنائية والمحور اللولبي  $n$  - ثنائية.
5. ما هي عناصر التماثل الانتقالية التي تظهرها البلورة؟ اشرح واحدة منها.
6. ميّز بين وحدة الخلية الاولية وغير الاولية. عرف وحدة الخلية الشبيكة. هل تكون وحدة الخلية متوازي سطوح دائماً؟ اذا لم تكن ما هو الشكل البديل وكيف يمكن الحصول عليه؟ لماذا تفضل عموماً الخلية التقليدية على الخلية الاولية؟
7. وضح العلاقة المنطقية: شبكة + أساس = تركيب بلوري. معرفاً المصطلحات الموجودة في هذه العلاقة.
8. ما الذي فهمته من الشبكة البرافزية والشبكة غير البرافزية؟ دون اسماء وعرف الانظمة السبعة للشباتك البرافزية الاربعة عشر. اعط محور التماثل الذي يمتلكه كل نظام.
9. وضح سبب عدم امكانية وجود بلورات رباعية مركزة الاوجه ومركزة القاعدة.
10. ما هو منهج معاملات ميلر في تمثيل مستويات البلورة؟
11. ارسم تحطيطاً يوضح المستويات  $(100)$  و  $(010)$  و  $(001)$  و  $(101)$  و  $(110)$  و  $(111)$  في وحدة خلية مكعب.
12. اذكر معاملات ميلر للاوجه الست لبلورة مكعبة.  
الجواب:  $(100)$  و  $(\bar{1}00)$  و  $(010)$  و  $(0\bar{1}0)$  و  $(001)$  و  $(0\bar{0}1)$ .

13. جد المسافة بين ذرة زاوية وذرة مركز جسم وحدة خلية مكعب مركز الجسم ثابت

$$\text{شبيكتها } 5.96 A^\circ. \text{ مساعدة في حل التمرين:} \\ \ell = \left\{ \left( a / \sqrt{2} \right)^2 + \left( a / 2 \right)^2 \right\}^{1/2}$$

الجواب:  $5.162 A^\circ$

14. جد المسافة بين ذرة زاوية عند القاعدة وذرة عند مركز قمة وجه وحدة خلية مكعب

مركز الوجه ثابت شبيكته  $6.38 A^\circ$ . مساعدة في حل التمرين:

$$\ell = \sqrt{\left( a / \sqrt{2} \right)^2 + a^2}$$

الجواب:  $7.814 A^\circ$

15. احسب عدد الذرات لوحدة خلية كل من (a) المكعب البسيط ( $a$ ) مكعب مركز الوجه (c) شبيكة مكعب مركز الجسم. (d). للكروم شبيكة برافز مكعب مركز الجسم طول ضلعه  $2.88 A^\circ$  بالنسبة لخلية مكعبه. احسب عدد ذرات الكروم لوحدة حجم البلورة.

الجواب:  $8.372 \times 10^{22} \text{ cm}^{-3}$  (d) 2(c) 4(a) 1(a)

16. حديد مكعب مركز الجسم وزنه الذري 56 وكتافته  $7.9 \text{ gm/cm}^3$ . احسب طول

$$\text{ضلع وحدة خلية المكعب. مساعدة في حل التمرين:} \\ \rho = \frac{2 \times 56}{6.02 \times 10^{23}} \cdot a^3 \cdot \rho$$

الجواب:  $a = 2.866 \times 10^{-8} \text{ cm}$

17. كم مكافىء للمستويات  $\{111\}$  و  $\{123\}$  في بلورة معينة قائمة؟

الجواب:  $\{111\} = (111), (11\bar{1}), (\bar{1}11)$

$\{123\} = (123), (\bar{1}23), (1\bar{2}3), (\bar{1}\bar{2}\bar{3})$

18. كم مستوى مكافىء إلى  $\{100\}$  و  $\{110\}$  و  $\{111\}$  و  $\{123\}$  في بلورة مكعب بسيط؟

الجواب:

$\{100\} = (100), (\bar{1}00), (010), (0\bar{1}0), (001), (00\bar{1})$

$\{110\} = (110), (\bar{1}10), (\bar{1}\bar{1}0), (1\bar{1}0)$  parallel to z-axis

$(011), (0\bar{1}1), (01\bar{1}), (0\bar{1}\bar{1})$  parallel to x-axis

$(011), (0\bar{1}1), (01\bar{1}), (0\bar{1}\bar{1})$  parallel to y-axis

$$\{111\} = (111), (\bar{1}\bar{1}1), (1\bar{1}\bar{1}), (\bar{1}\bar{1}\bar{1}), (11\bar{1}), (\bar{1}\bar{1}\bar{1}), (\bar{1}\bar{1}\bar{1}), (\bar{\bar{1}}\bar{1}\bar{1})$$

$$\{123\} = (123), (\bar{1}\bar{2}3), (1\bar{2}\bar{3}), (12\bar{3})$$

19. ما الذي استوعبه من معاملات ميلر؟ ارسم معاملات ميلر للمستويات:  $(100)$

و  $(110)$  لبلورة مكعبية. كيف يمكن حساب المسافة البنية بين المستويات لمجموعة مستويات ميلر في بلورة مكعبة بدلاً ثابت الشبكة؟ اشتق المعادلة التي حصلت عليها.

20. دون معاملات  $(a)$ : متجهات  $\vec{c}, \vec{b}, \vec{a}$  لوحدة خلية،  $(b)$ : أقطار أوجه مستويات  $ab$  و  $bc$  و  $ca$ .  $(c)$ : الطول القطري لجسم بلورة مكعبة.  $(d)$  دون مكافئات الطول القطري لجسم بلورة مكعبة.

الجواب:

$$(a) : [100], [010], [001]$$

$$(b) : [110], [011], [101]$$

$$(c) : [111]$$

$$(d) : [111], [\bar{1}\bar{1}1][1\bar{1}\bar{1}][\bar{1}\bar{1}\bar{1}][11\bar{1}][\bar{1}\bar{1}\bar{1}][\bar{1}\bar{1}\bar{1}][\bar{1}\bar{1}\bar{1}]$$

21. صُف خطوط رسم الاتجاه  $[uvw]$  موضحاً جوابك برسم الاتجاهات  $[121]$  و  $[234]$ .

22. دون علاقة المسافة البنية  $d$  لمجموعة مستويات  $(hk\ell)$  في شبكة ثلاثة الميل. استتبع من هذه العلاقة العلاقات التي تخص أنظمة الشبكة الأخرى.

23. أثبتت أن المسافة البنية  $d$  لمجموعة مستويات  $(hk\ell)$  تعطى بوساطة  $1/d^2 = h^2/a^2 + k^2/b^2 + \ell^2/c^2$  في حالة الشبكة المعيارية القائمة و  $d = a/\sqrt{h^2 + k^2 + \ell^2}$  في حالة شبكة مكعب بسيط.

24. أثبتت أن المسافة البنية  $d_{110}$  و  $d_{111}$  لبلورة مكعبة ذات معاملات بيكه تعطى بوساطة  $a$  و  $a\sqrt{2}$  و  $a\sqrt{3}$  على التناوب.

25. دون علاقة الزاوية  $\theta$  بين العمود على المستويات  $(h_1k_1\ell_1)$  و  $(h_2k_2\ell_2)$  في بلورة معيارية قائمة وكذلك استبعط العلاقة الخاصة بنظام البلورة الرباعي.

26. احسب زوايا السطح البنية لازواج الوجه الخاصة ببلورة مكعب:  $(100)$  و  $(010)$  و  $(1\bar{1}1)$ .

الجواب:  $\theta = 90^\circ; 70^\circ 32'$

27. دون علاقه الزاوية  $\delta$  بين الاتجاهين  $[u_1v_1w_1]$  و  $[u_2v_2w_2]$  في نظام معين قائم.  
استنبط من هذه العلاقة ما يخص النظام الرباعي والمكعب.

28. احسب الزاوية بين الاتجاهات  $[100]$  و  $[110]$  ثم بين  $[100]$  و  $[111]$  لنظام مكعب.

الجواب:  $\delta = \cos^{-1} \frac{1}{\sqrt{2}} = 45^\circ; \cos^{-1} \frac{1}{\sqrt{3}} = 54^\circ 44'$

29. احسب الزاوية  $\theta$  بين المستوى  $(111)$  والاتجاه  $[111]$ .  
الجواب:  $\theta = 90^\circ$

30. (a) ارسم مخطط تراكيب كل من:  $sc$ ،  $fcc$ ،  $bcc$  و  $hcp$  والماس.

(b) دون احداثيات الذرات المكونة لاساس كل تركيب ككسر من ضلع وحدة خلية.  
الجواب:

(b): بالنسبة الى  $sc$   $000, \frac{1}{2} \frac{1}{2} 0, 0 \frac{1}{2} \frac{1}{2}, \frac{1}{2} 0 \frac{1}{2}$   $fcc$ ، وبالنسبة الى  $000, \frac{1}{2} \frac{1}{2} \frac{1}{2}$   $bcc$  و بالنسبة الى الماس.

$000, \frac{1}{2} \frac{1}{2} 0, 0 \frac{1}{2} \frac{1}{2}, \frac{1}{2} 0 \frac{1}{2}, \frac{1}{4} \frac{1}{4} \frac{1}{4}, \frac{3}{4} \frac{3}{4} \frac{1}{4}, \frac{1}{4} \frac{3}{4} \frac{3}{4}, \frac{3}{4} \frac{1}{4} \frac{3}{4}$